

YILDIZ TEKNİK ÜNİVERSİTESİ \* FEN BİLİMLERİ ENSTİTÜÜ

Kesintisiz Güç Kaynağının  
Teorik İncelenmesi

Bayram Sancan

Yüksek Lisans Tezi

YILDIZ ÜNİVERSİTESİ  
GENEL KİTAPLIĞI

Kot : ..... R 152  
Alındığı Yer : ..Pen. Bil. Ens. 48  
.....  
Tarih : ..... 5.12.1988  
Fatura : .....  
Fiyatı : ..... 4.000 TL  
Ayniyat No : ..... 1/21  
Kayıt No : ..... 45732  
UDC : ..... 378.242  
Ek : ..... 621.3





TEZ'İN KONUSU

KESİNTİSİZ GÜÇ KAYNAĞININ  
TEORİK İNCELENMESİ VE  
UYGULAMA ALANLARI

TEZ'İ YAPAN

Adı : BAYRAM  
Soyadı: SANCAK  
Bölümü: ELEKTRİK MÜH.  
Sınıfı: YÜKSEK LİSANS  
No : 841325

TEZ YÖNETİCİSİ

Y. Doç. Dr.  
HALİT PASTACI

## İÇİNDEKİLER

	<u>Sahife</u>
1. GİRİŞ	1
2. AKÜMÜLATÖR BATARYASI	3
2.1. Tarif	3
2.2. Sığa	3
2.3. Sarj ve Deşarj	3
2.4. E.m.k. ve çıkış Gerilimi	3
2.5. Verim	3
3. REDRESÖR DEVRESİ	5
4. TETİKLEME DEVRESİ	8
4.1. Unijunction Transistör (UJT)	8
4.2. UJT' li Bir Osilasyon Devresi	8
4.3. UJT' li Bir Tetikleme Devresi	11
5. ONDÜLÖR DEVRESİ	16
5.1. Tarif	16
5.2. Sınıflandırma	16
5.3. Gerilim Zorlamalı Ondülörler	16
5.3.1. Gerilim Ayarı	18
6. KOMÜTASYON OLAYI	22
6.1. Tarif	22
6.2. Sınıflandırma	22
6.3. Komütasyon Hesabı	25
6.3.1. (+) Akımda Komütasyon Hesabı	25
6.3.1.1. Birinci Kademenin Hesabı	25
6.3.1.2. İkinci Kademenin Hesabı	27
6.3.1.3. Üçüncü Kademenin Hesabı	28
6.3.2. (-) Akımda Komütasyon Hesabı	30
6.3.2.1. Birinci Kademenin Hesabı	30
6.3.2.2. İkinci Kademenin Hesabı	32
6.3.2.3. Üçüncü Kademenin Hesabı	33
7. FİLTRE DEVRESİ	34
7.1. Filtre Devresi	34
7.2. Smith Grafiği	36

(2-33)

Sahife

7.3.	Filtre Devresi Hesabı	36
7.3.1.	Yükün Omik Direnci	36
7.3.2.	Yükün Reaktansı	36
7.3.3.	Yükün Empedansı	36
7.3.4.	Süzgeç Dizayn Empedansı	36
7.3.5.	Süzgeç Dizayn Açısal Frekansı	36
7.3.6.	Süzgeç Elemanları	36
7.3.7.	Yükün Normalleştirilmiş Dizayn Empedansı	36
7.3.8.	Girişin Normalleştirilmiş Dizayn Empedansı	37
7.3.9.	Süzgeç Giriş Empedansı	37
7.3.10.	Süzgeç Giriş Gerilimi	37
8.	DİYOT VE TRİSTÖRLERİN SEÇİMİ	38
8.1.	Diyotların Seçimi	38
8.2.	Tristörlerin Seçimi	38
8.2.1.	Serbest Kalma Zamanı	38
8.2.2.	(+) ve (-) Kapama Gerilimleri	38
8.2.3.	Gerilim Yükselme Hızı	38
8.2.4.	Akım Yükselme Hızı	39
8.2.5.	Tepe Akımı	39
8.2.6.	Isınma	39
9.	BİR HESAP ÖRNEĞİ	41
9.1.	Filtre Devresi Hesabı	41
9.2.	Komütasyon Hesabı	44
9.3.	Tetikleme Devresi Hesabı	48
9.4.	Redresör Devresi Hesabı	51
9.5.	Diyot ve Tristörlerin Kontrolü	53
10.1.	Kesintisiz Güç Kaynakları ile ilgili değerlendirme(Giriş)	57 ✓
10.2.	Çalışma İlkeleri ve Özellikleri (KGK'la rının)	58 ✓
10.3.	A.B.D. ve Türkiye'de Üretim	60 ✓
10.4.	KGK'larının Kullanma Alanları	62 ✓

A - Aküslülerin hizmetinin meydana gelmesidir.

### 3- Aküslülerin hizmetinin

Görevi: Adresör ile onarımına sürekli paralel bağlı

olup, onarım ve tetikleme devresini sabit ve tam doğru

Yarı iletken teknolojisindeki büyük gelişmeler  
çeşitli alanlarda elektronik tabanlı cihazların kullanımı  
aftmıştır. Bunun sonucunda daha verimli, daha güvenilir ve daha suratlı çalışan sistemler ortaya çıkmıştır. Bu tür sistemler geçmişte insan gücü ile gerçekleştirilen birçok işi devr almışlardır. Bunun doğal sonucu olan cihaz güvenilirliği de büyük önem kazanmıştır. IBM firması tarafından yapılan bir araştırma sonuçları ABD'nde kesintiler dışında oluşan kaynak sorunlarının (gerilimin ve frekansın istenmeyen şekilde değişmeleri, geçici koşullar sonucunda ortaya çıkan gerilim darbeleri gibi) hasas cihazlar üzerinde çok olumsuz etkiler yapabileceğini ortaya koymuştur. Bir de bu sorunlara kaynağın yitirilmesini eklediğimizde işin ciddiyeti tüm açılığı ile ortaya çıkmıştır. KGK'ları koruduğu cihazların fiyatlarının üçte birine ulaşmakla birlikte yapılan araştırmalar göstermişstirki kaynakta oluşan birkaç hatanın yok edilmesi bile KGK kullanılmasını haklı hale getirmektedir.

K.G.K.'ları beş temel kısımdan meydana gelmektedir.

1- Akümlatör bátyası:

Görevi: Redresör ile ondilör arasına sürekli paralel bağlı olup, ondilör ve tetikleme devresini sabit ve tam doğru bir gerilimle beslenmesini sağlar.

2- Redresör(Doğrultucu) devresi : Alternatif gerilimi doğru gerilime çevirir.

The electronic systems have taken many works and studies

3- Tetikleme devresi % D.C. gerilim ile çalışarak ondilör devresini kumanda eder.

Consequences of studies proceeded by IBB is not been

4- Ondülör (inverter) devresi: D.C. gerilimi AC gerilime çevirir. In U.S.A. such as variable of voltage and frequency without wanted voltage can be obtained.

5- Filtre (süzme) devresi : DC gerilim ile çalışarak ondülör devresini kumanda eder.

Akümlatör bataryası aynı zamanda, şebeke gerilimi kesildiğinde hiç ara vermeden ( $\mu$ s merkebesinede bile) kapasitesine göre belli bir zaman için, yükü beslemeye devam eder. Bunun için bu sisteme "KGK" adı verilmiştir.

Bu beş temel bölüm teorik olarak geniş bir şekilde incelenmiş olup, bir takım firmaların da teknik özellikle rinde kısaca bahsedilmiştir.

Power source without intermittent consists of five main sections as follows:

### I- Accumulator based SUMMARY

Development for technology of semi-conductor has rapidly increased in using of electronic equipments and devices that are useful on different areas. At the result of this some systems that they have safely been productive and also have been working quickly have been discovered. The electronic systems have taken many works and studies which have been done and realized by man power. Thus the reliability of device has been gained very important. Consequences of studies researched by IBM, it has been found that Source problems raised from some deduction or decrease in U.S.A. ( such as variations of voltage and frequency without wanted, voltage pulse raised from temporary conditions) can make contrary effects on developing and production of precious devices and equipments. The importance of subject can be seen clearly that lossing of source is very important for solving this question, in addition to circumstances above mentioned. The prices of Power Source without intermittent has increased above 1/3 of price of other equipments protected by Power source without intermittent but on the other hand researches has showed that it some mistakes that comes from shorting of source is taken away or removed the use of Power source without intermittent will become right and begin developing of its production.

Power source without intermittent consists of five main sections as follows:

1- Accumulator battery:

Its duty : It provides a voltage feeding to circuits of inverter and of triggering with constant and correct.

It is bound in parallel continuously between converter and inverter.

2- Converter (Regulator) circuit: It converts A.C. to D.C.

3- Trigging circuit. This device control the circuit of inverter that works with D.C.

4- Circuit of inverter: It inverts D.C. to A.C.

5- Circuit of filtering : It controls to circuit of inverter by running D.C.

When the power of net works disconnects, without of any intermittent (even level of U.S.) it.

Continues feeding according to its capacitance, for a certain times. Therefore it is called as Power source without intermittent.

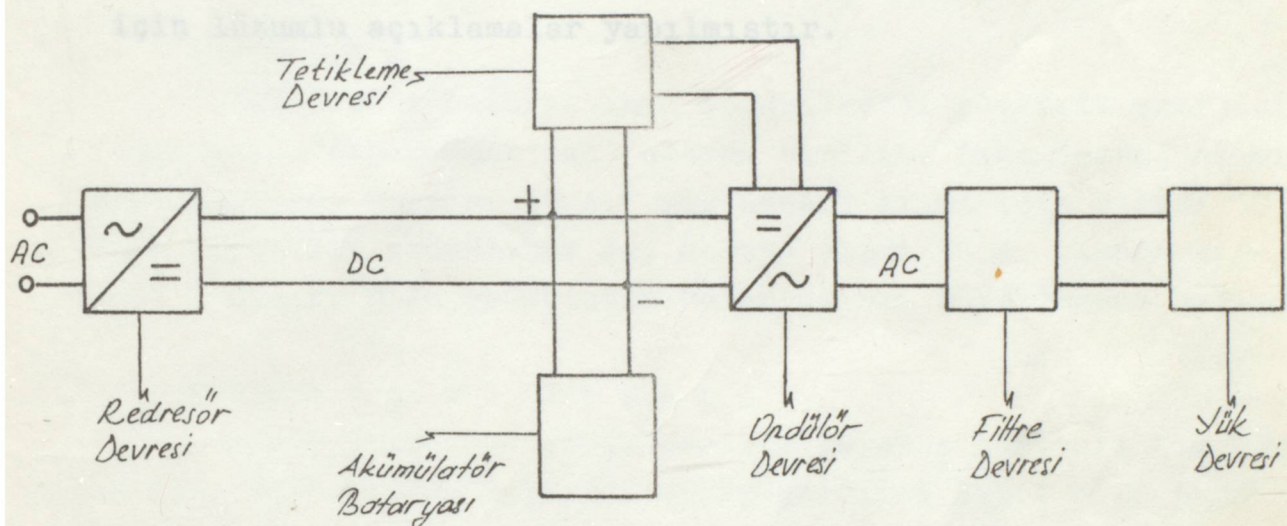
These five main section has theoretically studied with details and at the same time several information about same firms have been given.

## 1.GİRİŞ

"Redresör" ile ondülör arasındaki en önemli fark, gerilim türüdür. "Redresör" DC gerilimi sağlıyor, ondülör ise AC gerilimini sağlıyor. Bu nedenle, ondülörün çıkışının, yükü doğru bir gerilimle beslemesini sağlar.

Akümülatör baryası aynı zamanda, sebeke gerilimi kesildiğinde DC gerilimini vermeden (ya martebede bile) kapasitesine göre belirli bir zaman için, yükü beslemeye devam eder. Bunun için bu blok "Lük" adı verilmiştir.

Bundan sonraki bölümlerde, bu beş temel kısım hakkında, her birinin işlevini açıklamaya çalışmayı planlıyorum.



Şekil 1.1

Şekil 1.1'deki, "Kesintisiz Güç Kaynağı (KGK)"nın blok şeması görülmektedir. Şemadan anlaşılacağı gibi "KGK" 5 temel kısımdan meydana gelmektedir.

1. Akümülatör Baryası
2. Redresör (Doğrultucu) Devresi
3. Tetikleme Devresi
4. Ondülör (İnverter) Devresi
5. Filtre (Süzme) Devresi

"Redresör" alternatif gerilimi(AC) doğru gerilime (DC) çevirir.

"Ondülör" DC gerilimi AC gerilime çevirir.

"Filtre" ondülör çıkışındaki gerilimi süzerek yüke tam sinüsoidal bir gerilim uygulanmasını sağlar.

"Tetikleme Devresi" DC gerilim ile çalışarak ondülör devresini kumanda eder.

"Akümülatör Bataryası" redresör ile ondülör arasına sürekli parel (Tampon) bağlı olup, ondülör ve tetikleme devresinin sabit ve tam doğru bir gerilimle beslenmesini sağlar.

Akümülatör bataryası aynı zamanda, şebeke gerilimi kesildiğinde hiç ara vermeden ( $\mu$ s mertebesinde bile) kapasitesine göre belli bir zaman için, yükü beslemeye devam eder. Bunun için bu sisteme "KGK" adı verilmiştir.

Bundan sonraki bölümlerde, bu beş temel kısım hakkında, KGK için lüzumlu açıklamalar yapılmıştır.

## 2. AKÜMÜLATÖR BATARYASI

### 2.1. Tarif

"Akümülatör" elektrik enerjisini kimyasal enerji şeklinde depo edip istenildiği zaman tekrar elektrik enerjisi olarak veren bir sistemdir. Böyle sistemlere "Çevrilebilir Sistemler" de denir. Akümülatörlerin seri ve paralel bağlanmalarından meydana gelen sisteme de "Akümülatör bataryası" denilir.

### 2.2. Sıga

Akümülatör bataryasının verebileceği elektrik enerjisini ifade eder. Amper-Saat (Ah) olarak verilir. Sığa deşarj akımına göre değişir. Mesela: 15 A.' mik deşarj akımı için sıgası 90 Ah. olan tipik bir akümülatör de, deşarj akımı 26 A. olunca sığa 78 Ah.' a düşer. Sığa akümülatör bataryasının büyüklüğüne bağlıdır.

### 2.3. Sarj ve Deşarj

Sabit akım veya sabit gerilim veya herhangi bir gerilimle şarj edilebilir. Deşarjda çıkış gerilimi sabit olup boşaldıkça yavaş yavaş azalır. Sarj ve deşarj da akım imalatçı firmaca verilen maksimum değerleri aşmamalıdır. Yine sarj ve deşarj da akümülatör bataryasının "Elektromotor Kuvvet (E.m.k.)' i, etiket değerinin % 10' undan fazla artmamalı ve eksilmemelidir. Aksi halde, yabancı kimyasal maddeler meydana gelir ve plakalar bozulur.

### 2.4. E. m. k. ve Çıkış Gerilimi

"E.m.k." akümülatör yapı maddesine bağlı olup büyüklüğe bağlı değildir. Mesela: Kurşunlu bir akümülatör de e.m.k. 2 V.' tur. Akümülatörlerin iç dirençleri çok çok küçük (0,01 ile 0,0001arası) olduğundan çıkış gerilimleri hemen hemen sabit olup (çekilen akıma bağlı değil) e.m.k. 'lerine eşittir. Bu sebeple kısa devre olmaları da çok tehlikelidir. Akümülatör bozulur, iletkenler yanar, patlama ve yangınlara sebep olur.

### 2.5. Verim

"Elektrik Miktarına göre" ve "Enerji Miktarına Göre" olmak üzere 2 türlü verim tarif edilir

$Q_d$ : Verilen elektrik miktarı

$Q_s$ : Alınan elektrik miktarı

$W_d$ : Verilen elektrik enerjisi miktarı

$W_s$ : Alınan elektrik enerjisi miktarı

olduğuna göre,

Elektrik miktarına göre verim:

$$\% \eta_Q = 100 \frac{Q_d}{Q_s} \quad (2.1)$$

Enerji miktarına göre verim:

$$\% \eta_W = 100 \frac{W_d}{W_s} \quad (2.2)$$

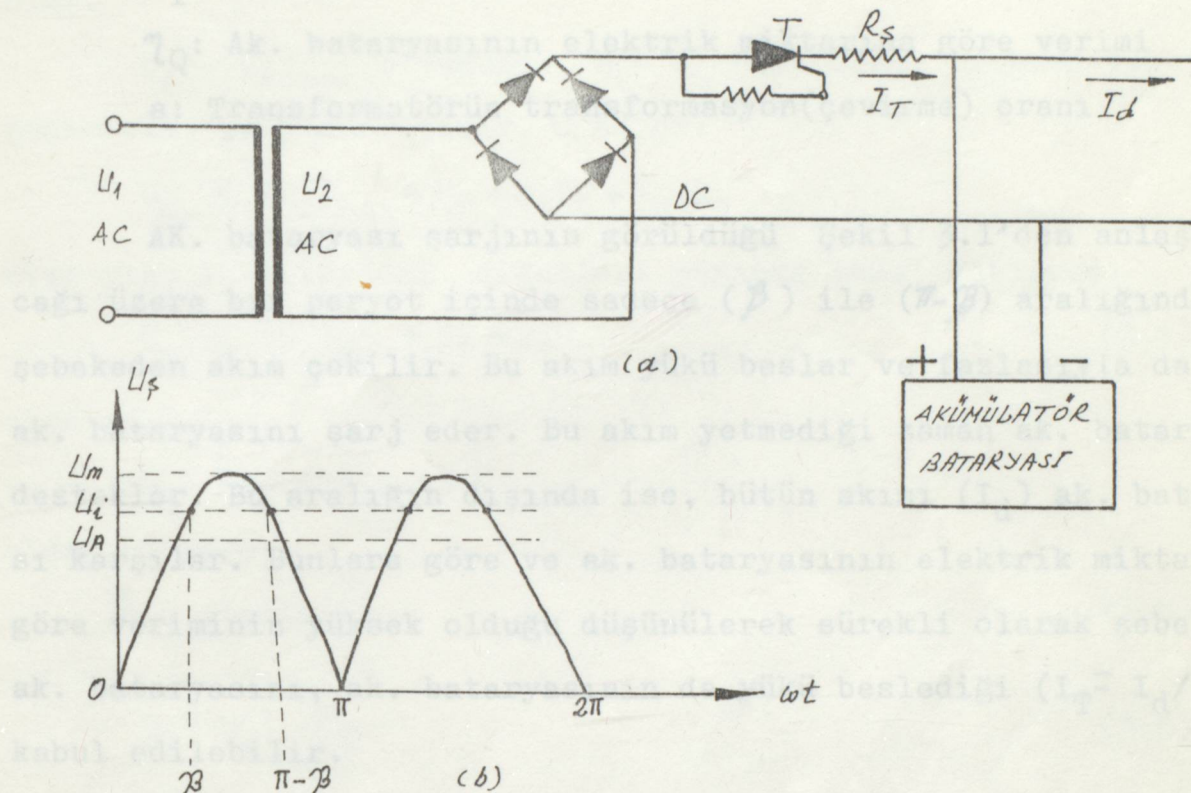
Akümülatörlerin elektrik miktarına göre verimleri yüksektir. Mesela: Yaklaşık olarak kurşunlularda %90, demir-nikkellilerde % 80' dir.

$$Q = I \cdot dt \quad \text{ve} \quad (2.3)$$

$$W = U \cdot dt \quad (2.4)$$

olup akım ile gerilim değerleri ve integral sınırları şarj ve deşarja göre düzenlenir.

### 3. REDRESÖR DEVRESİ



Sekil 3.1

Bu bölümde geçen simbol ve enlamları

$I_H$ : Tristörün tutma akımı

$i_T$ : Tristörden geçen (Şebekeden çekilen) akım

$I_{\bar{T}}$ : Tristörden geçen akımın aritmetiksel ortalama değeri

$I_d$ : Ondülör ve tetikleme devrelerinin çektikleri akımların aritmetiksel ortalamalarının toplamı

$U_D$ : Diyodun geçirme durumundaki gerilim düşümü

$U_T$ : Tristörün geçirme durumundaki gerilim düşümü

$U_1$ : Transformatör primer gerilimi

$U_2$ : Transformatör sekonder gerilimi

$U_S$ : Redresör çıkışının ideal boşta çalışma gerilimi

$U_m$ :  $U_S$  geriliminin maksimum değeri

$U_i$ :  $U_S$  geriliminin tristörün iletime geçtiği anı değeri

$U_A$ : Akümülatör bataryasının nominal gerilimi

$(U_A)_{\max}$ : Akümülatör bataryası için müsade edilen maksimum gerilim

$R_L$ : Transformatör sekonderinin omik direnci

$R_S$ : Ak. bataryasının şarj direnci

$R_i$ : Bağlantı iletkenlerinin direnci

$\eta_Q$ : Ak. bataryasının elektrik miktarına göre verimi

$a$ : Transformatörün transformasyon(çevirme) oranı

AK. bataryası şarjının görüldüğü Şekil 3.1'den anlaşıla-  
cağı üzere bir peryot içinde sadece ( $\beta$ ) ile ( $\pi - \beta$ ) aralığında  
şebekeden akım çekilir. Bu akım yükü besler ve fazlaşıyla da  
ak. bataryasını şarj eder. Bu akım yetmediği zaman ak. bataryası  
destekler. Bu aralığın dışında ise, bütün akımı ( $I_d$ ) ak. batarya-  
sı karşılar. Bunlara göre ve ak. bataryasının elektrik miktarına  
göre veriminin yüksek olduğu düşünülerek sürekli olarak şebekenin  
ak. bataryasını, ak. bataryasının da yükü beslediği ( $I_T = I_d / \eta_Q$ )  
kabul edilebilir.

$$R_i = 0,001\Omega \text{ ile } 0,01\Omega$$

$$R_L = 0,01\Omega \text{ ile } 0,1\Omega$$

$$R_S = 0,1\Omega \text{ ile } 1\Omega$$

merteblerindedir.

$$R_T = R_i + R_L + R_S \quad (3.1)$$

olsun.

Şebekeden çekilen akımın genel olarak:

$$i_T = \frac{u_S - U_A - U_T - 2 \cdot U_D}{R_T} \quad (3.2)$$

$i_T \geq I_H$  olduğunda şebekeden akım çekilir ve  $i_T = I_H$  anında  
( $\beta = w.t$  veya  $u_S = U_i$  anında) akım çekilmeye başlanır. Bu andaki  
redresör çıkış gerilimi:

$$U_i = U_A + U_T + 2 \cdot U_D + I_H \cdot R_T$$

olup  $I_H \cdot R_T$  ifadesi diğerleri yanında ihmal edilirse:

$$U_i = U_A + U_T + 2 \cdot U_D \quad (3.3)$$

olur.

$U_A = (U_A)_{\max}$  olduğunda,  $u_S = U_m$  bile olsa, tristör iletime geçmemeli, şarj durmalıdır. O halde:

$$U_m \leq (U_A)_{\max} + U_T + 2 \cdot U_D + I_H \cdot R_T$$

olup yine  $I_H \cdot R_T$  ifadesi diğerleri yanında ihmal edilirse:

$$U_m \leq (U_A)_{\max} + U_T + 2 \cdot U_D \quad (3.4)$$

olmalıdır.

$u_S = |U_m \cdot \sin(w \cdot t)|$  T'nin simbolü (b) görülmektedir.

olduğuna göre:

$$\beta = \arcsin \frac{U_i}{U_m} \quad (3.5)$$

$$U_2 = U_S = \frac{U_m}{\sqrt{2}} \quad (3.6)$$

olduğu bilindiğine göre:

$$a = \frac{\sqrt{2} \cdot U_1}{U_m} \quad (3.7)$$

olur.

Şebekeden çekilen akımın aritmetiksel ortalama değeri:

$$I_T = \frac{I_d}{\gamma_Q} \quad (3.8)$$

bağıntısında bulunabilir.  $I_T$  aynı zamanda:

$$I_T = \frac{1}{\pi} \int_0^{\pi/\beta} \frac{U_m \cdot \sin(w \cdot t) - U_A - U_T - 2 \cdot U_D}{R_T} d(w \cdot t) \quad (3.9)$$

şeklinde de yazılabilir.

$I_T$  bilindiğine göre bu bağıntıdan  $R_T$  ve dolayısıyla  $R_S$  direnci hesaplanabilir.

$$P_{R_S} = I_T^2 \cdot R_S \quad (3.10)$$

#### 4. TETİKLEME DEVRESİ

##### 4.1. Uni junction Transistor (UJT)

"Çift Tabanlı Diyot" adı da verilen UJT, tristörlerin tetiklenmesi için gerekli olan akım darbelerinin elde edilmesinde, çok değişik şekillerde kullanılabilen, eşsiz bir tetikleme elemanıdır. Şekil 4,1' de, tipik bir UJT'nin akım-gerilim karakteristiği (a) ve UJT'nin simbolü (b) görülmektedir.

$$U_p = \gamma \cdot U_{BB} + U_D \quad (4.1)$$

veya yaklaşık olarak:

$$U_p \approx \gamma \cdot U_{BB} \quad (4.2)$$

alınabilir.

$U_p$  = Devrilme gerilimi

$U_{BB}$  = Tabanlar arasına uygulanan gerilim

$U_D$  = İletimde iken emiter jonksiyonundaki gerilim düşümü

$\gamma$  = Öz Standoff Oranı

"Öz Standoff Oranı" UJT'nin yapısına bağlı olup 0,4 ile 0,8 arasındadır.

##### 4.2. UJT' li Bir Osilasyon Devresi

Şekil 4.2. (a)' da tipik bir UJT'li osilasyon devresi görülmektedir.  $U_1$  gerilimi ile  $R_1$  direnci üzerinden dolan  $C_1$  kondansatörünün gerilimi  $U_c = U_p = U_E$  olduğu anda UJT iletimde geçer ve kondansatör E jonksiyonu ve  $R_{B1}$  direnci üzerinden deşarj olur.  $U_c$  gerilimi (veya  $I_E$  akımı) belli bir değerin altına düşünce UJT iletimden çıkar ve  $C_1$  kondansatörü yeniden dolmaya başlar. Aynı işlemler peryadik olarak tekrarlanır.  $U_c$  geriliminin

ve  $R_{B1}$  üzerinde meydana gelen darbelerin değişimi Şekil 4.2.(b)'de görülmektedir.  $R_L$  direnci veya  $C_1$  kondansatörü ile ayarlanabilen peryod:

$$\tilde{T} = R_L \cdot C_1 \cdot \ln\left(\frac{1}{1-\eta}\right) \quad (4.3)$$

Osilasyonun meydana gelebilmesi için UJT' nin çalışma noktasının "Negatif Direnç Bölgesi" üzerinde olması gereklidir. (Şekil 4.2.(c)). Bunun içinde:

$$(R_L)_{\min} \leq R_L \leq (R_L)_{\max} \quad (4.4)$$

olmalıdır.

$$(R_L)_{\min} = \frac{U_1 - U_v}{I_v} \quad (4.5)$$

$$(R_L)_{\max} = \frac{U_1 - U_p}{I_p} \quad (4.6)$$

$R_L < (R_L)_{\min}$  ise: Çalışma noktasında  $I_E > I_v$  olduğundan iletme geçen UJT bir daha iletimden çıkmaz.

$R_L > (R_L)_{\max}$  ise: Çalışma noktasında  $I_E < I_p$  olduğundan kondansatör dolmaz ve UJT hiç iletme geçmez.

Her iki halde de osilasyon meydana gelmez.

$R_{B1}$  direnci üzerinden sürekli olarak geçen DC akım:

$$I_{dc} = \frac{U_1}{R_{B1} + R_{BB} + R_{B2}} \quad (4.7)$$

$R_{BB}$ : UJT' nin tabanlar arası direnci

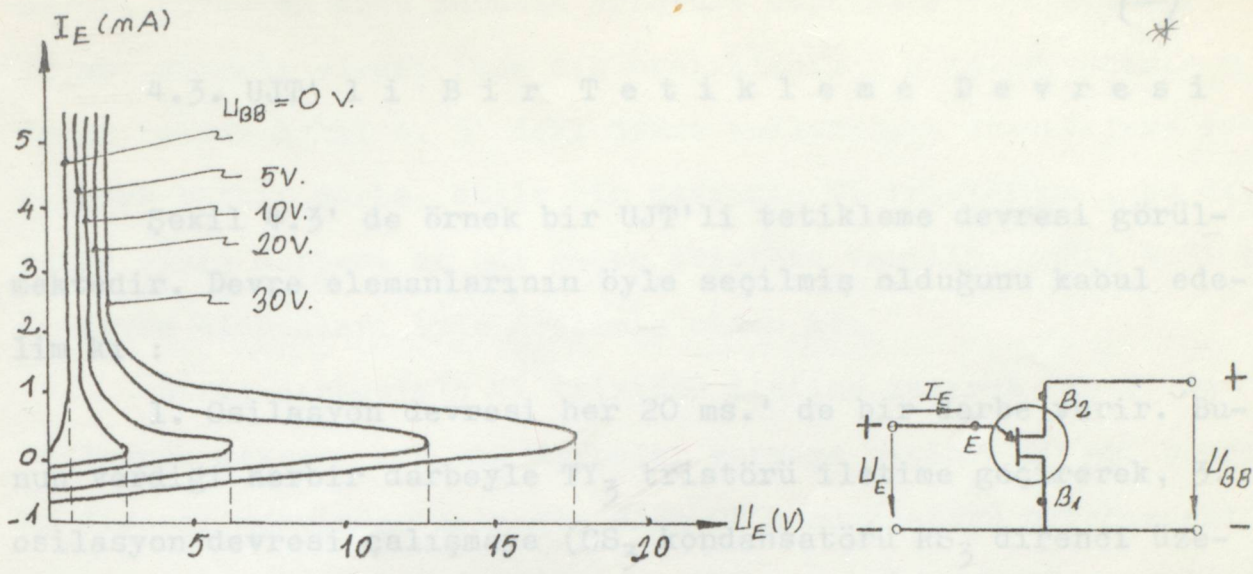
Tristörün sürekli olarak tetiklenmesi için:

$$U_{GT} > R_{B1} \cdot I_{dc} \quad (4.8)$$

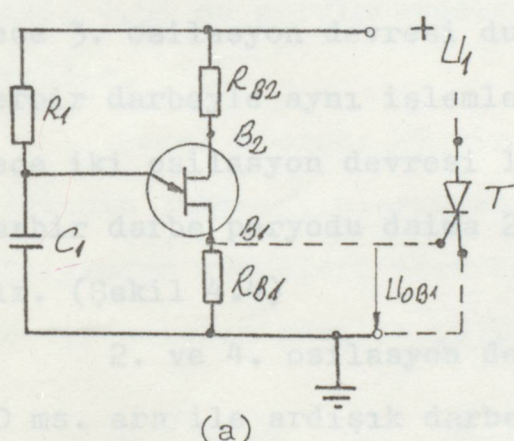
olmalıdır.

$U_{GT}$ : Tristörün tetiklenme gerilimi

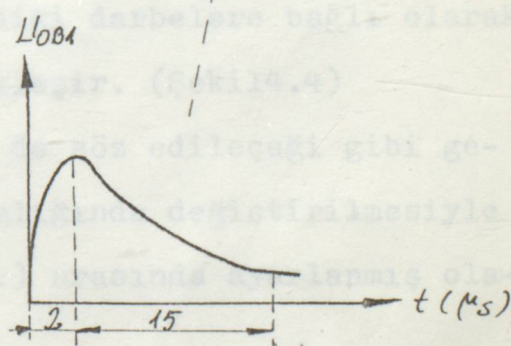
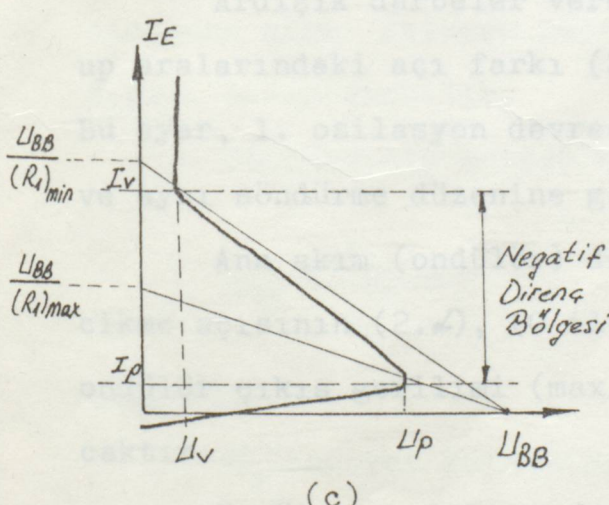
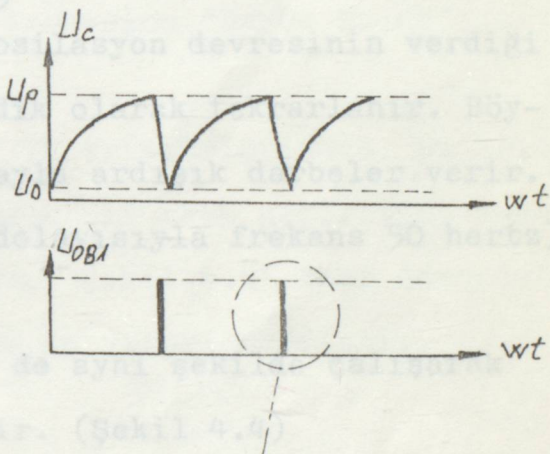
$R_{B1}$  direnci yerine yalıtım istenen yerlerde bir tetikleme transformatörünün primeri de bağlanabilir.



Şekil 4.1: Bir TETIKLEME DEVRESİ  
elemanlarının öyle seçilmiş olduğunu kabul edelim.  
rinden dolanır. 1. 10 ms. sonra darbe verir. Kesi-  
di verdiği darbeye T<sub>2</sub> Şekil 4.1 iletme geçirir. 24 V. ile  
çarj olan C<sub>2</sub>, kondensatörü T<sub>2</sub> tristörünü söndürür ve böy-



10 ms. arası ardışık darbeler veren (Şekil 4.1)



Şekil 4.2: Birlikte bir şekilde gerçekleştirilebil-

4.3. UJT' li Bir Tetikleme Devresi

Şekil 4.3' de örnek bir UJT'li tetikleme devresi görülmektedir. Devre elemanlarının öyle seçilmiş olduğunu kabul edelim ki :

1. Osilasyon devresi her 20 ms.' de bir darbe verir. Bu nun verdiği herbir darbeye TY<sub>3</sub> tristörü iletme geçirerek, 3. osilasyon devresi çalışmaya (CS<sub>3</sub> kondansatörü RS<sub>3</sub> direnci üz erinden dolmaya) başlar ve 1.'den 10 ms. sonra darbe verir. Ken di verdiği darbeye TS<sub>3</sub> tristörü iletme geçiririk, 24 V. ile şarj olmuş olan CS<sub>3</sub> kondansatörü TY<sub>3</sub> tristörünü söndürür ve bö lece 3. osilasyon devresi durur. 1. osilasyon devresinin verdiği herbir darbeye aynı işlemler peryodik olarak tekrarlanır. Bö lece iki osilasyon devresi 10ms. arayla ardışık durbeler verir. Herbir darbe peryodu daima 20 ms. (dolayısıyla frekans 50 hertz)' dir. (Şekil 4.4)

2. ve 4. osilasyon devreleri de aynı şekilde çalışarak 10 ms. ara ile ardışık durbeler verir. (Şekil 4.4)

Ardışık durbeler veren bu iki sistem, birbirine bağlı ol up aralarındaki açı farkı (2.  $\alpha$ ) R<sub>12</sub> direnci ile ayarlanabilir. Bu ayar, 1. osilasyon devresinin verdiği durbelere bağlı olarak ve aynı söndürme düzeneğe göre gerçekleşir. (Şekil 4.4)

Ana akım (ondülör) devresinde de söz edileceği gibi ge cikme açısının (2.  $\alpha$ ), (0 ile 180) aralığında değiştirilmesiyle ondülör çıkış gerilimi (max. ile min.) arasında ayarlanmış ola caktır.

Komütasyon konusunda daha iyi anlaşılacağı gibi ondülör devresindeki komütasyonların sıhhatlı bir şekilde gerçekleşebil

meleri için, en kötü durumda tristöre verilen herbir darbenin 10 ms. sürekli olması (çok sık aralıklarla) gerekmektedir. Bunun içinde Şekil 4.5' deki devre kullanılır. Tristörlere ve rilecek herbir darbe, böyle bir devrenin TY tristörüne, bu devrenin çıkış darbesi de adı geçen tristöre verilir. Şekil 4.5' te ki devre elemanları öyle seçilmiş olsun ki:

Giriş darbesiyle TY tristörü iletme gerek 24 V' da osilasyon devresi çok sık darbeler vermeye başlar. 10 ms. sonra RS direnci üzerinden dolmakta olan CS kondansatörü uçlarındaki gerilim, DS diyakının devrilme gerilimine erişerek DS devrilir, TY söner ve darbeler durur. Böylece herbir darbe 10 ms. sürekli hale getirilmiş olur. Bu devrenin giriş ve çıkış darbe şekilleri Şekil 4.6' da görülmektedir. Çıkış darbesine "Darbe Treni" denilir.

Genel olarak: RT dirençleri, TY tristörlerinden, bu tristörlerin tutma akımlarından daha büyük bir akım geçirerek, kendiliğinden sönmeleri için konulmuştur. Şekil 4.5' teki devrede RT direncinden gerilim bölüğü olarak da yararlanılmıştır.

$$T \approx R_1 \cdot C_1 \cdot \ln\left(\frac{1}{1-\gamma}\right)$$

olduğuna göre: İstenen peryod için  $R_1$  ve  $C_1$ ' den birisi seçilerek diğer hesaplanabilir.

Söndürmenin gerçekleşebilmesi için:

$$CS > \frac{s \cdot t_q \cdot I_d}{U_d} \quad (4.9)$$

olmalıdır.

$\zeta_s$  = Emniyet katsayısı

$t_q$  = TY tristörlerinin serbest kalma zamanı

$I_d$  = TY tristörlerden geçen akım

$U_d$  = Devre gerilimi

$$I_d = \frac{U_d}{R_T} \quad (4.10)$$

alınabilir.

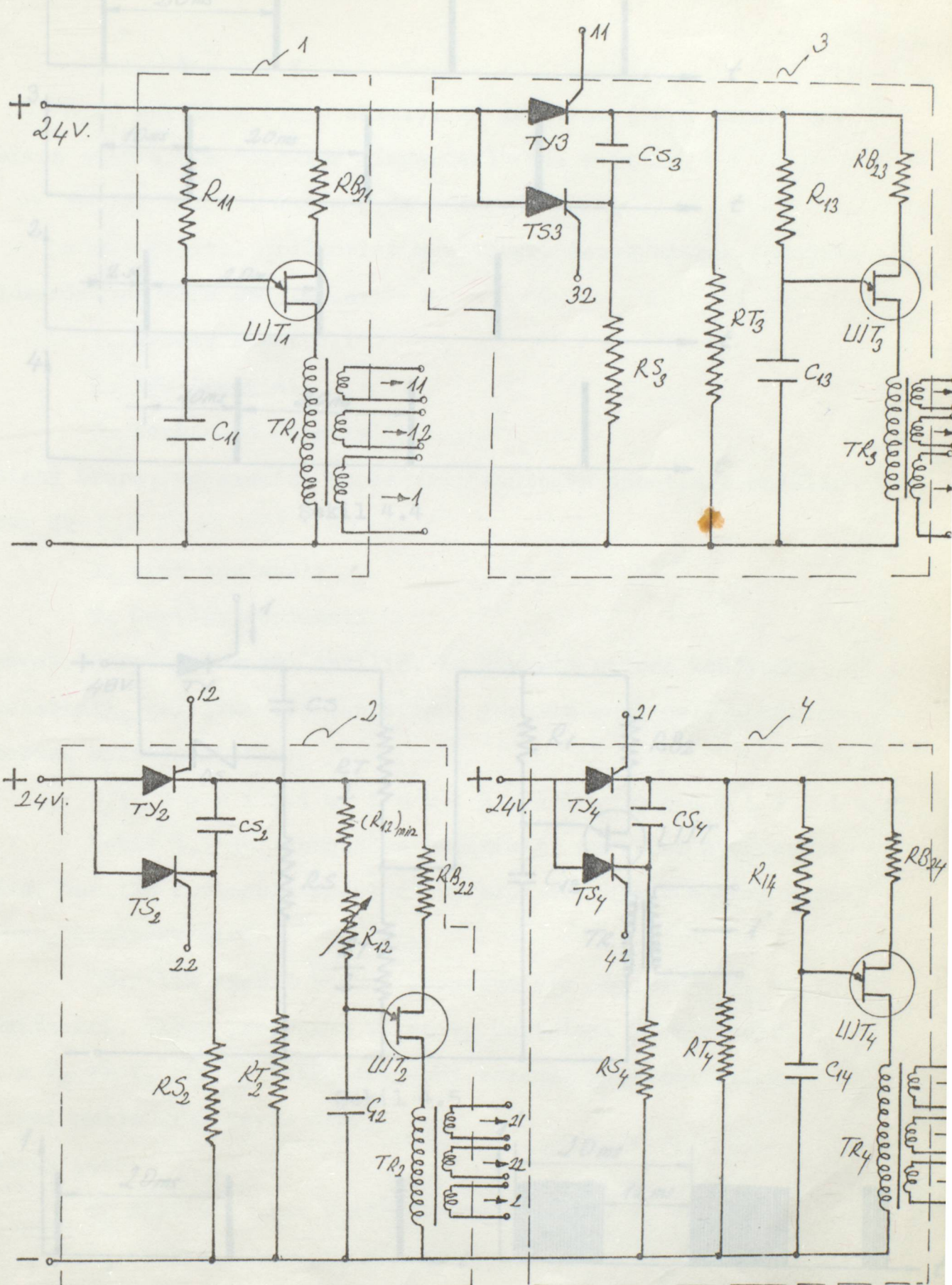
Şekil 4.5' deki devrede, TY tristörünün ilettime geçiktelenen 10 ms. sonra sönmesi için, RS direncinin ne olması gerekiyor?

$$U_{ds} = U_d \cdot \left( 1 - e^{-\frac{t}{RS \cdot CS}} \right) \quad (4.11)$$

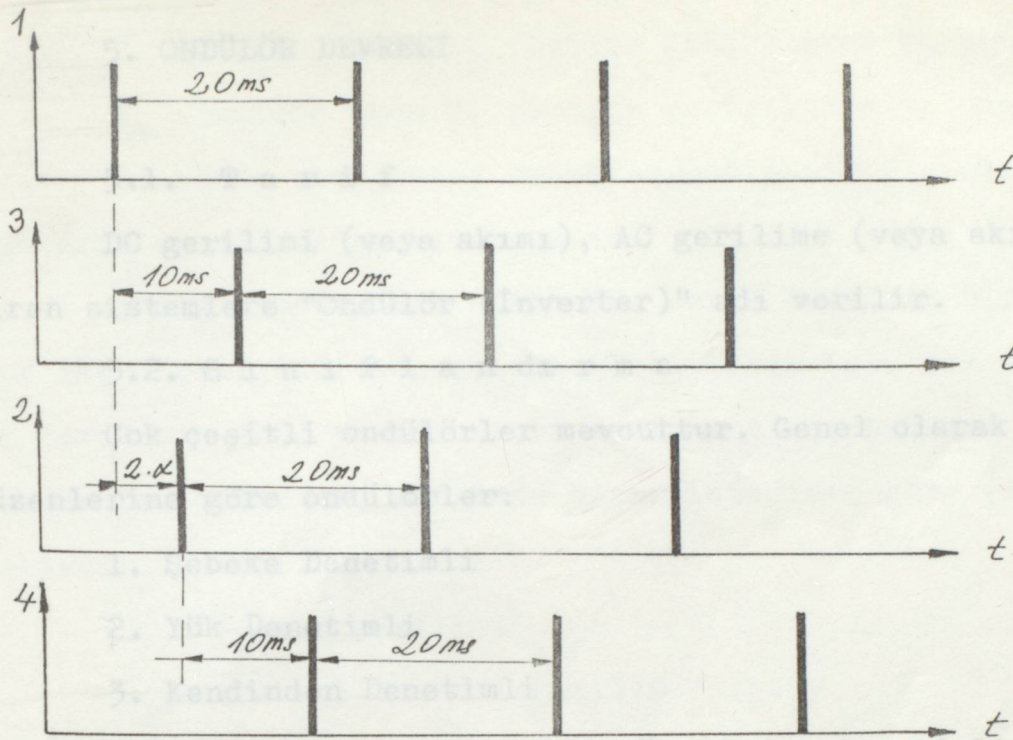
ifadesinde bulunabilir.

$U_{ds}$ : Diyakın devrilme gerilimi

RS.CS: Söndürme devresi zaman sabiti



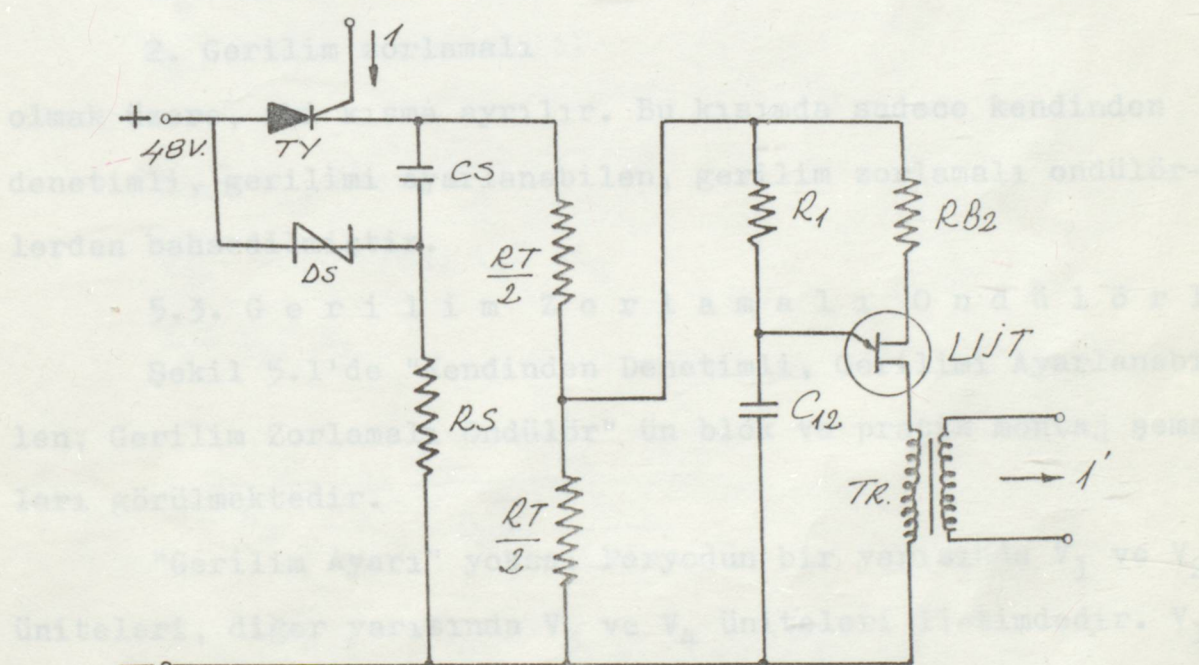
Şekil 4.3



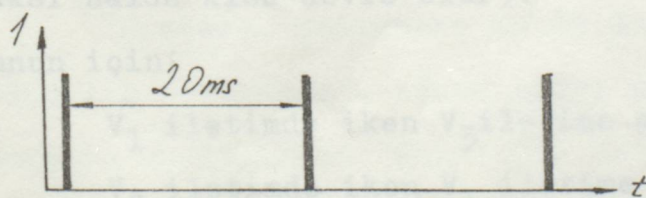
Şekil 4.4

## 1. Akım Zorunlu

## 2. Gerilim Zorunlu



Şekil 4.5



Şekil 4.6

## 5. ONDÜLÖR DEVRESİ

\*

5.1. T a r i f rına "Komitesyon" denir ki, sonraki bölgelerde DC gerilimi (veya akımı), AC gerilime (veya akıma) çeviren sistemlere "Ondülör (Inverter)" adı verilir.

5.2. S i n i f l a n dı r m a tır (a), yük eplerinde Çok çeşitli ondülörler mevcuttur. Genel olarak söndürme düzenlerine göre ondülörler:

1. Şebeke Denetimli

2. Yük Denetimli

3. Kendinden Denetimli

olmak üzere, üç sınıfta toplanır. Kendinden denetimli ondülörler de:

1. Akım zorlamalı

2. Gerilim zorlamalı

olmak üzere, iki kısma ayrılır. Bu kısımda sadece kendinden denetimli, gerilimi ayarlanabilen, gerilim zorlamalı ondülörlerden bahsedilmiştir.

### 5.3. G e r i l i m Z o r l a m a lı O n d ü l ö r l e r

Şekil 5.1'de "Kendinden Denetimli, Gerilimi Ayarlanabilen, Gerilim Zorlamalı Ondülör"ün blok ve pratik montaj şemaları görülmektedir.

"Gerilim Ayarı" yoksa: Peryodun bir yarısında  $V_1$  ve  $V_2$  üniteleri, diğer yarısında  $V_3$  ve  $V_4$  üniteleri iletimdedir.  $V_1$  ile  $V_3$  ve  $V_2$  ile  $V_4$  üniteleri aynı zamanda iletimde kalamaz. (Aksi halde kısa devre olur).

Bunun için:

$V_1$  iletimde iken  $V_3$  iletime geçirilirse  $V_1$  söner.

$V_3$  iletimde iken  $V_1$  iletime geçirilirse  $V_3$  söner.

$V_2$  iletimde iken  $V_4$  iletime geçirilirse  $V_2$  söner.

$V_4$  iletimde iken  $V_2$  iletime geçirilirse  $V_4$  söner.

Bu sönme olaylarına "Komütasyon" denir ki, sonraki bölgümlerde etrafıca açıklanacaktır.

3 ile 4 noktaları arasında, Omik- Endüktif bir yük mevcut iken Şekil 5.2' de, şebeke geriliminin (a), yük uçlarında gerilimin (b), yükten geçen akımın (b), şebekeden çekilen akımın (c) değişimi, iletimde olan sistemlere göre (d) görülmektedir.

$U_{12}$ : Şebeke gerilimi

$U_{34}$ : Yük uçlarındaki gerilim

$i_E$ : Şebekeden çekilen akım

$R_A$ : Yükün omik direnci

$L_A$ : Yükün endüktansı

$\tau_A$ : Yükün zaman sabiti

olduğuna göre:

$$U_{34} = U_{12} \text{ iken: } i_A = i_E$$

$$U_{34} = -U_{12} \text{ iken: } i_A = -i_E$$

$$\tau_A = L_A / R_A$$

$$i_A = \frac{U_{12}}{R_A} \left( 1 - \frac{e^{-\frac{T}{4\tau_A}} \cdot \frac{t}{T/4}}{\cosh \frac{T}{4\tau_A}} \right) \quad (5.1)$$

$$i_E = \frac{2 \cdot U_{12}}{T \cdot R_A} \left( \frac{T}{2} - 2 \cdot \tau_A \cdot \operatorname{th} \frac{T}{4\tau_A} \right) \quad (5.2)$$

Sisteme, çalışması sabit doğru gerilimle olduğundan "Gerilim Zorlamalı", sönme olayı sistemin kendi bünyesinde meydana geldiğinden "Kendinden Denetimli", tetiklem devresiy-

le çıkış gerilimi ayarlanabildiğinden "Gerilimi Ayarlanabilen" adları verilmiştir.

Pratikte, Şekil 5.1.(b)'de görüldüğü gibi: 3 ile 4 noktaları arasına, bir transformatörün primeri bağlanmakta ( $U_{34}$ ), gerilim yükseltilmekte ( $U_{56}$ ), süzülmekte ( $U_{78}$ ) ve sinüsoidal olan filtre çıkış gerilimiyle de yük beslenmektedir.

Kare dalga olan  $U_{34}$  gerilimin "Fourier Analizi" ne göre 1. harmoniği hesaplanırsa:

$$(U_{34})_{IEF} = 0,9 \cdot U_{12} \quad (5.3)$$

$$(U_{34})_{IMAX} = 1,27 \cdot U_{12}$$

bulunur. (Şekil 5.3)

### 5.3.1. Gerilim Ayarı

Gerilim ayarı ünitelerin iletim de kalma durumlarına göre yapılır. Şöyled ki:

$$(V_1 \ V_2) \text{ üniteleri iletimde ise: } U_{34} = U_{12}$$

$$(V_1 \ V_4) \text{ üniteleri iletimde ise: } U_{34} = 0$$

$$(V_3 \ V_4) \text{ üniteleri iletimde ise: } U_{34} = U_{12}$$

$$(V_3 \ V_2) \text{ üniteleri iletimde ise: } U_{34} = 0$$

Bunlar da:  $V_1$ 'e göre  $V_2$  ve  $V_3$ 'e göre  $V_4$  ünitesini, 2. kadar geç iletime geçirerek (tetikleme devresiyle) gerçekleştiriliyor. Bu durum Şekil 5.4'de görülmektedir. Fourier Analizi'ne göre:

$$(U_{34})_{IEF} = 0,9 \cdot U_{12} \cdot \cos \alpha \quad (5.5)$$

$$(U_{34})_{IMAX} = 1,27 \cdot U_{12} \cdot \cos \alpha \quad (5.6)$$

bulunur.

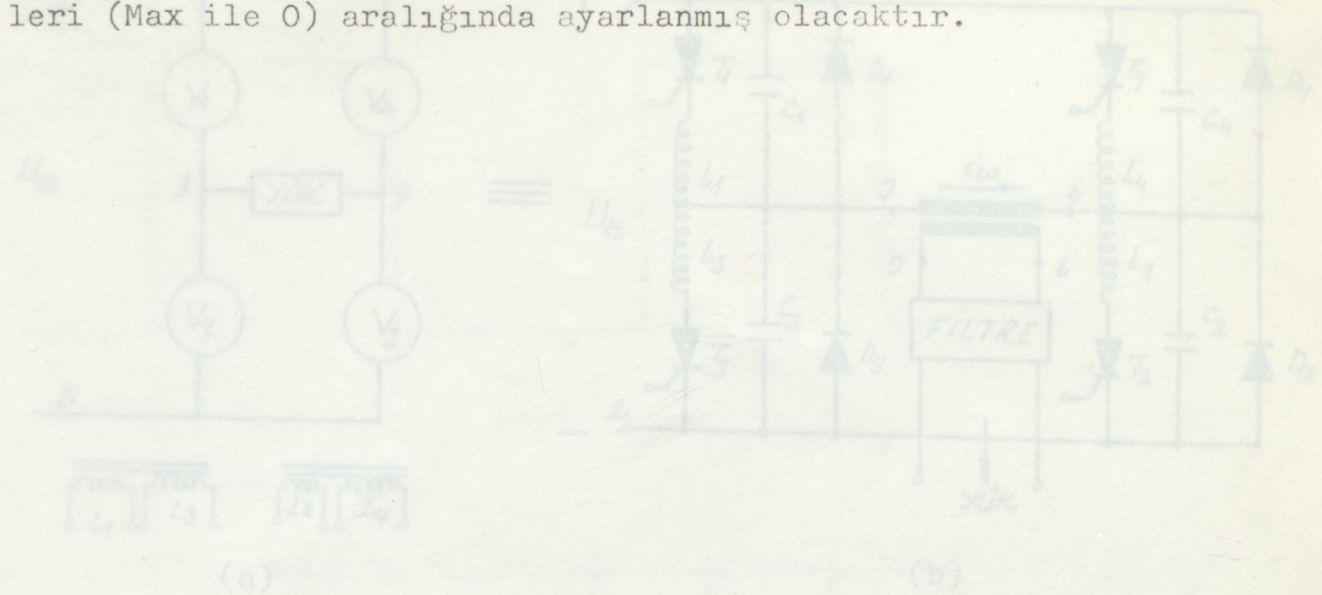
Şekil 5.3'te:

$$U_{34} = U_{12} \quad (5.7)$$

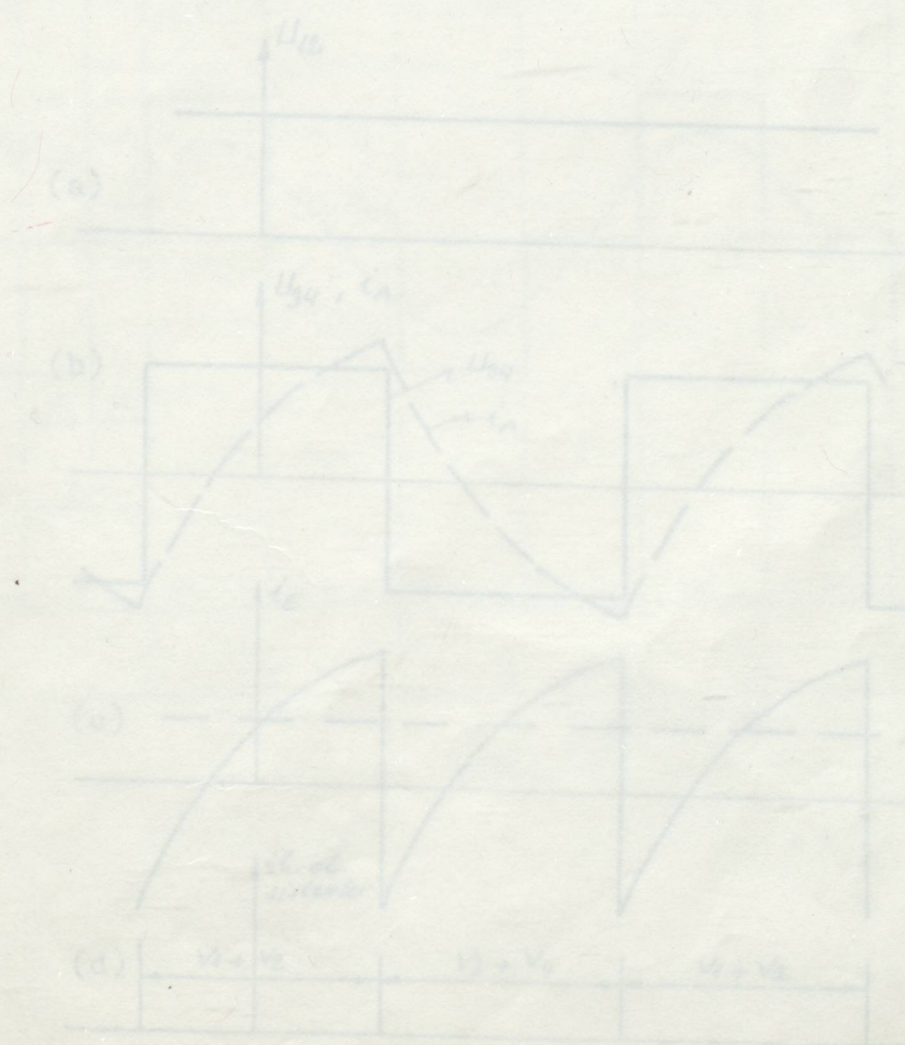
Şekil 5.4'te:

$$U_{34} = \left(1 - \frac{2 \cdot \alpha}{\pi}\right) \cdot U_{12} \quad (5.8)$$

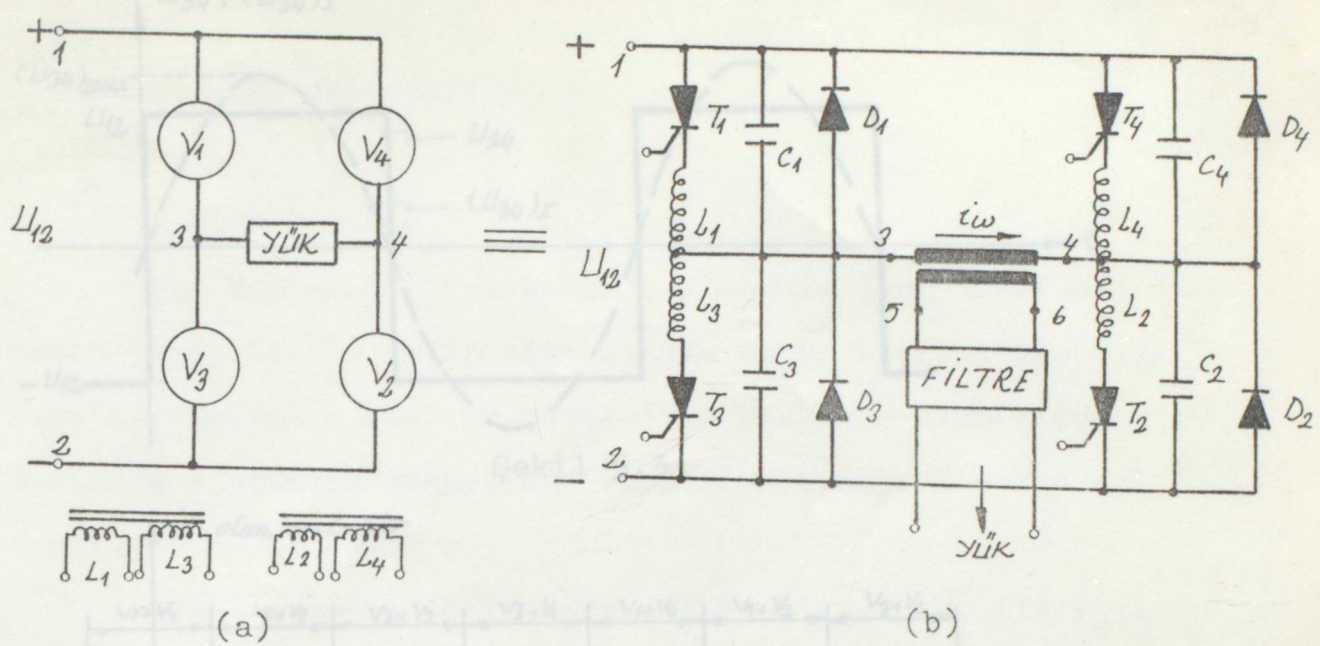
da değiştirmek le transformatörün giriş, çıkış ve yük gerilimleri (Max ile 0) aralığında ayarlanmış olacaktır.



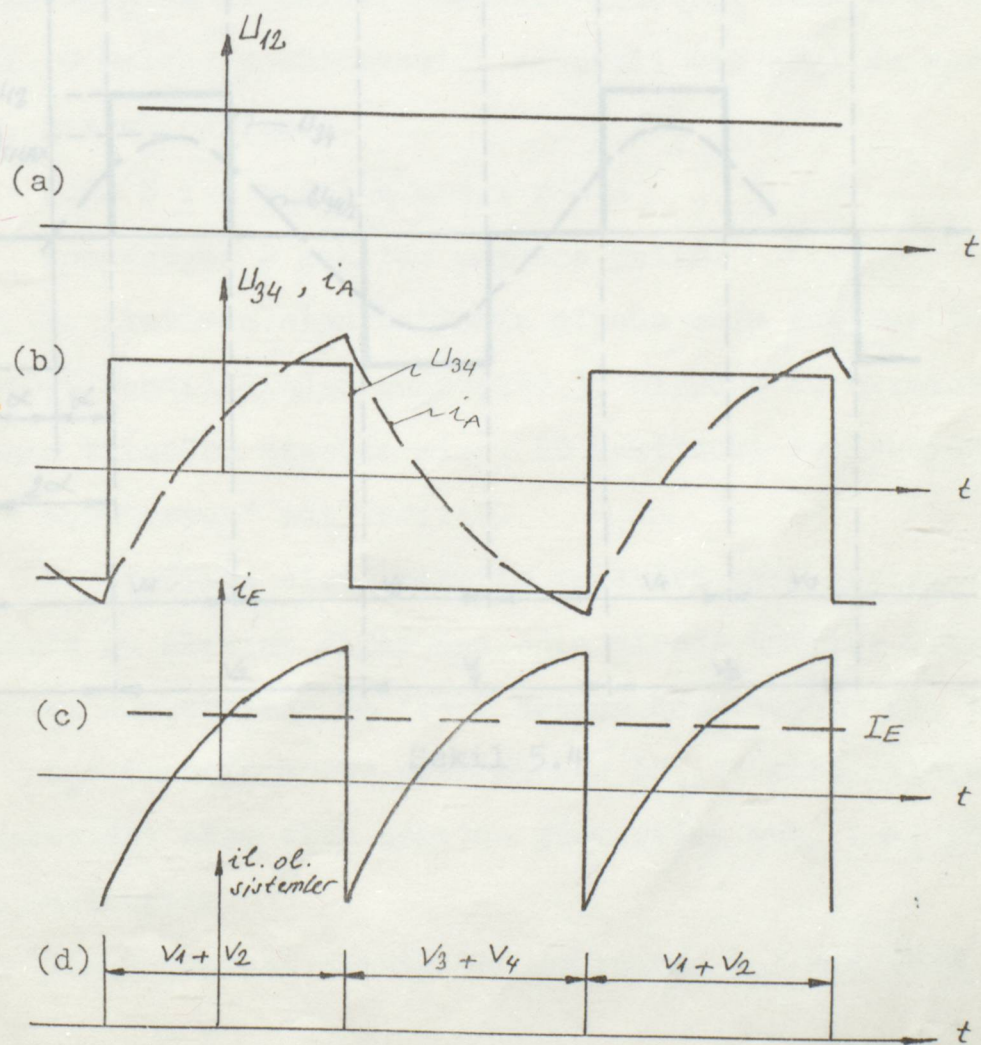
Şekil 5.1



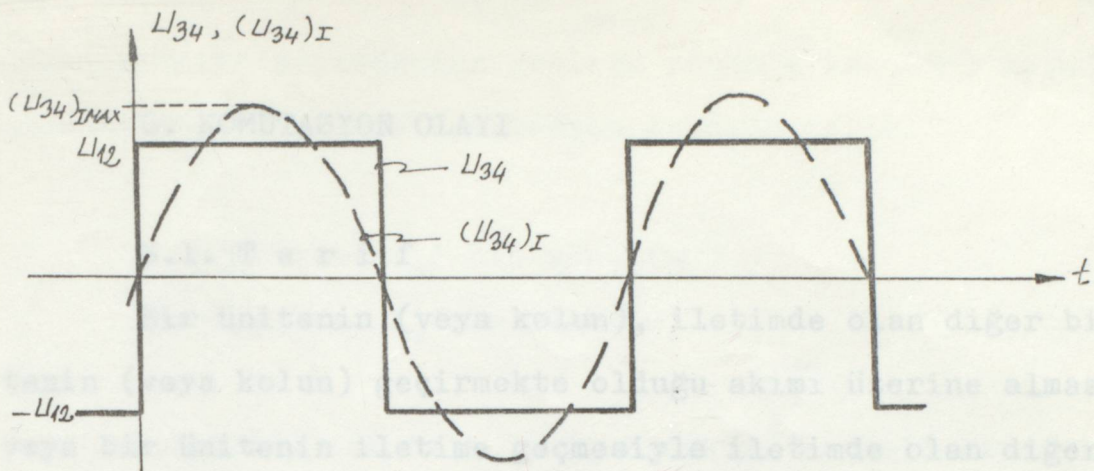
Şekil 5.2



Şekil 5.1

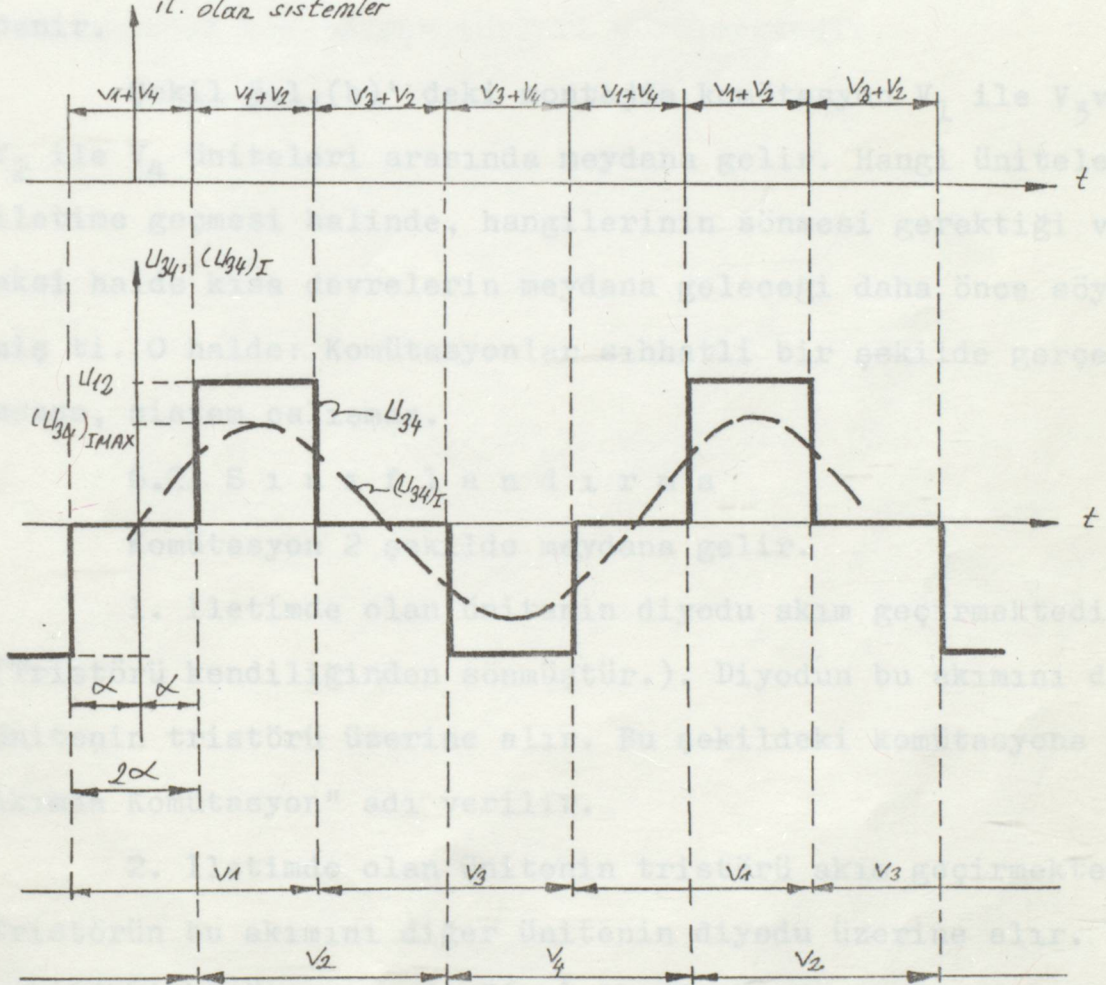


Şekil 5.2



Şekil 5.3

il. olan sistemler



Şekil 5.4

(+)

## 6. KOMÜTASYON OLAYI

### 6.1. Tariff'ının yönü (+)

Bir ünitenin (veya kolun), iletimde olan diğer bir ünitenin (veya kolun) geçirmekte olduğu akımı üzerine almasına veya bir ünitenin iletme geçmesiyle iletimde olan diğer bir ünitenin iletimden çıkışına (veya sönmesine) "Komütasyon" denir.

Şekil 5.1.(b)'deki montajda komütasyon  $V_1$  ile  $V_3$  ve  $V_2$  ile  $V_4$  üniteleri arasında meydana gelir. Hangi ünitelerin iletme geçmesi halinde, hangilerinin sönmesi gerektiği ve aksi halde kısa devrelerin meydana geleceği daha önce söylemiş ti. O halde: Komütasyonlar sıhhatalı bir şekilde gerçekleştirmezse, sistem çalışmaz.

### 6.2. Sınlılandırma

Komütasyon 2 şekilde meydana gelir.

1. İletimde olan ünitenin diyodu akım geçirmektedir (Tristörü kendiliğinden sönmüştür.). Diyodon bu akımını diğer ünitenin tristörü üzerine alır. Bu şekildeki komütasyona "(+)" Akımda Komütasyon" adı verilir.

2. İletimde olan ünitenin tristörü akım geçirmektedir. Tristörün bu akımını diğer ünitenin diyodu üzerine alır. Bu şekildeki komütasyona da "(-)" Akımda Komütasyon" adı verilir.

$i_w$ : Transformatör primerinden ( $U_{34}$ )<sub>I</sub> geriliminin geçirdiği sinüsoidal akım olup şekilde gösterilen yön, (+) yön olarak kabul edilmiştir.

Genel olarak: Komütasyon esnasında  $i_w$ 'nin yönü iletme

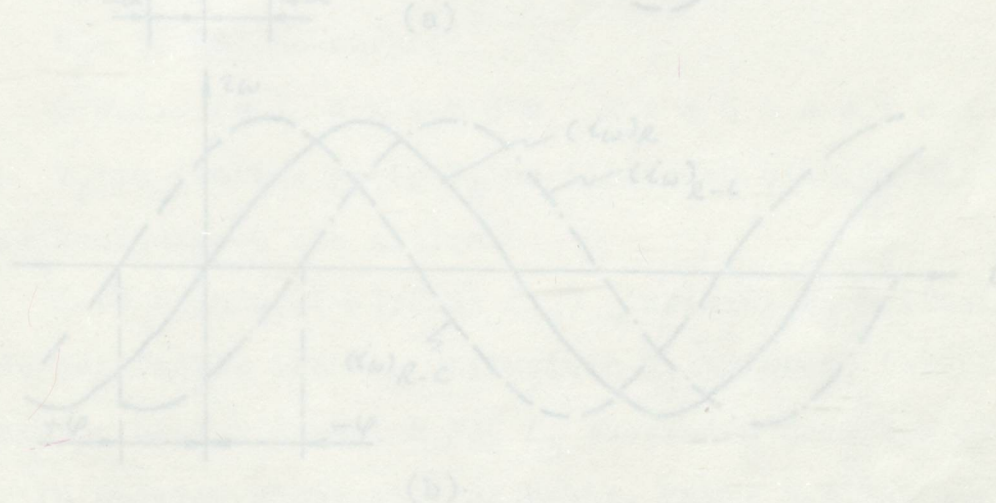
geçeceğin ünite tristörünün geçirme yönünde ise (+) akımda, aksi halde (-) akımda komütasyon meydana gelir.

$\alpha + \varphi > 0$  ise:  $i_w'$  nin yönü (+)

$\alpha + \varphi < 0$  ise:  $i_w'$  nin yönü (-)

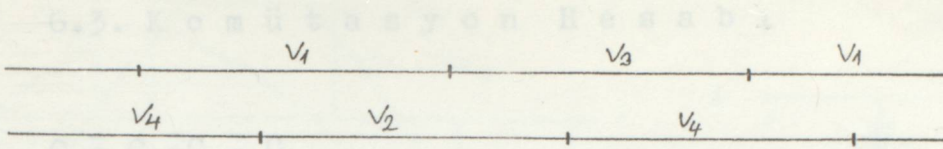
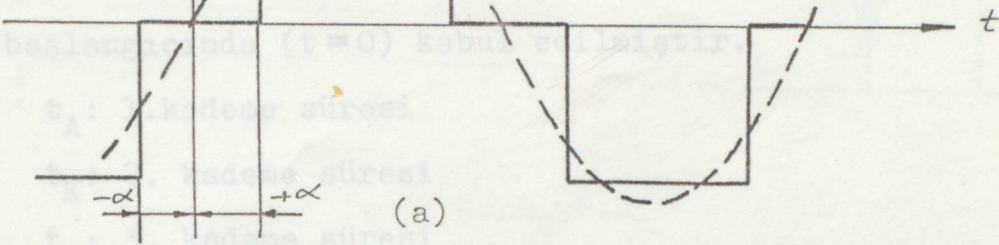
olur.

Şekil 6.1' de Omik, Omik-Endüktif ve Omik-Kapasitif yükler için örnek  $i_w$  akımları ve Tablo 6.1' de bu akımlar için meydana gelecek komütasyon türleri görülmektedir.



Şekil 6.1

URETİMİ GEÇEREK ÜNİTE	İZETİDEN ÇIKIŞAK ÜNİTE	KOMÜTASYON TURU	İLK DÖNÜM TAKIMI	İKİNCİ DÖNÜM TAKIMI	ÜÇÜNCÜ DÖNÜM TAKIMI	ÜÇÜNCÜ DÖNÜM TAKIMI	ÜÇÜNCÜ DÖNÜM TAKIMI
$V_1$	$V_1$	d	-	-	-	-	+
$V_2$	$V_2$	d	-	-	-	-	+
$V_3$	$V_3$	d	-	-	-	-	+
$V_4$	$V_4$	d	-	-	-	-	+

 $U_{34}, (U_{34})_I$  $U_{34}$  $(U_{34})_T$ 

(a)

 $i\omega$  $(i\omega)_R$  $(i\omega)_{R-L}$  $(i\omega)_{R-C}$  $+\varphi$ 

(b)

Şekil 6.1

(c) değişimi gözlemektedir.

## 6.3.1.1. Birinci Kademeyenin Hesabı

İLETİME GEÇECEK ÜNİTE	İLETİMDEN ÇIKACAK ÜNİTE	KOMÜTASYONUM YERİ	$(i\omega)_A$ İÇİN		$(i\omega)_{R-L}$ İÇİN		$(i\omega)_{R-C}$ İÇİN	
			AKIM YÖNÜ	KOM. TÜRÜ	AKIM YÖNÜ	KOM. TÜRÜ	AKIM YÖNÜ	KOM. TÜRÜ
$V_1$	$V_3$	$-\alpha$	-	-	-	-	+	+
$V_2$	$V_4$	$+\alpha$	+	+	-	-	+	+
$V_3$	$V_1$	$-\alpha$	+	-	+	-	-	+
$V_4$	$V_2$	$+\alpha$	-	+	+	-	-	+

Tablo 6.1

### 6.3. Komütasyon Hesabı

$$c_1 = c_2 = c_3 = c_4$$

$$L_1 = L_2 = L_3 = L_4 = L/4$$

olup  $L_1$  ile  $L_3$  ve  $L_2$  ile  $L_4$  magnetik kuplajlıdır.

Her iki komütasyonda da 3 kademe mevcut olup, her kademe başlangıcında ( $t=0$ ) kabul edilmiştir.

$t_A$ : 1. kademe süresi

$t_K$ : 2. kademe süresi

$t_E$ : 3. kademe süresi

#### 6.3.1. (+) Akımda Komütasyon Hesabı

$V_1$ 'in iletme geçip  $V_3$ 'ün iletimden çıktığı bir ( ) akımda komütasyonu ele alalım:

(-∞) anında, (+) yönde  $(i_w)_{-\infty}$  akımını  $V_3$  ünitesinin  $D_3$  diyodu geçirmekte iken  $V_1$  ünitesinin  $T_1$  tristörü tetiklenerek komütasyon başlar. (Şekil 6.2).  $D_3$  üzerinden geçmekte olan akımı  $T_1$ 'in üzerine almasıyla son bulur. Şekil 6.3'de, komütasyon süresince  $T_1$  den geçen akımın (b) ve  $T_3$  uçlarındaki gerilimin (c) değişimi görülmektedir.

##### 6.3.1.1. Birinci Kademenin Hesabı

$$i_{T1} = 0$$

$$i_{D3} = (i_w)_{-\infty}$$

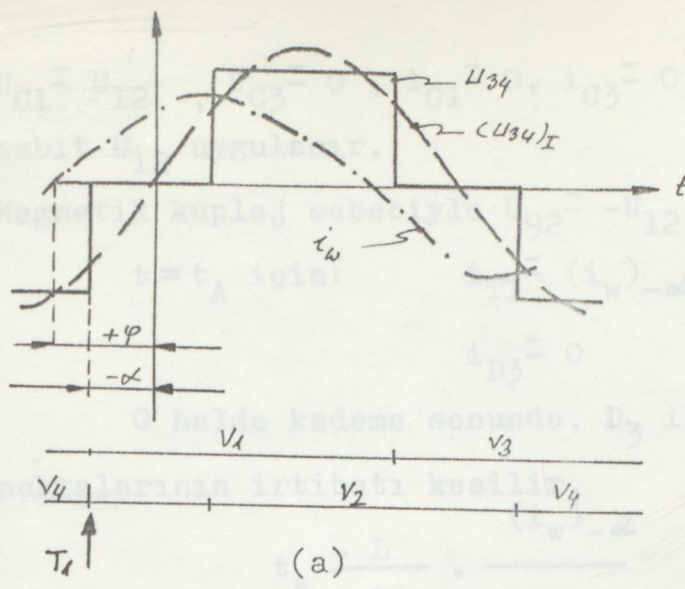
$$t=0 \text{ için } U_{C1} = U_{12}$$

$$U_{C3} = 0$$

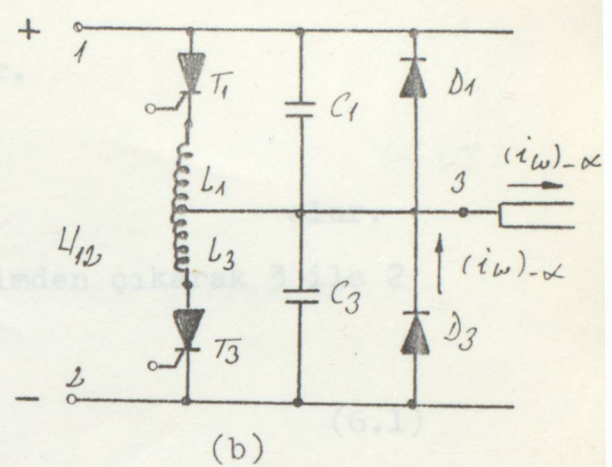
$$i_{C1} = 0$$

$$i_{C3} = 0$$

Kademe süresince:  $D_3$  iletimdedir.  $D_1$  kapama yönünde kuptulu olduğundan akım geçirmez. 3 ile 2 noktaları irtibatlıdır.

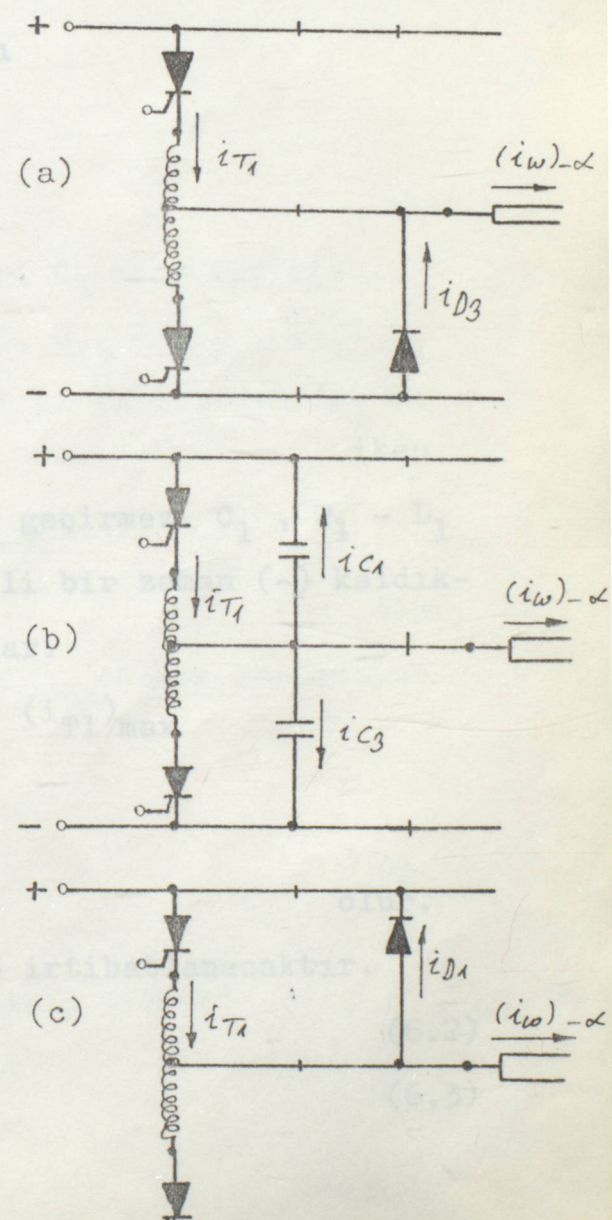
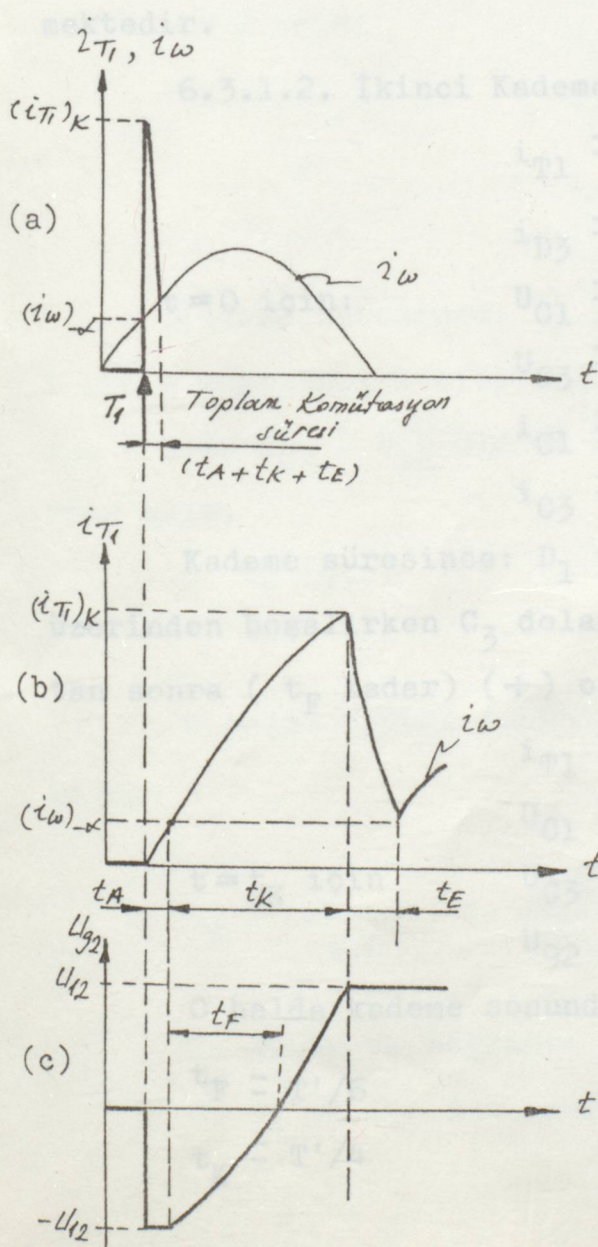


(a)



(b)

Şekil 6.2



$U_{C1} = U_{12}$ ,  $U_{C3} = 0$ ,  $i_{C1} = 0$ ,  $i_{C3} = 0$  olarak kalır.  $L_1 - T_1$  üzerine sabit  $U_{12}$  uygulanır.

Magnetik kuplaj sebebiyle  $U_{92} = -U_{12}$  dir.

$$t = t_A \text{ için: } i_{T1} = (i_w)_{-\alpha}$$

$$i_{D3} = 0 \quad \text{olur.}$$

O halde kademe sonunda,  $D_3$  ile 3 ile 2 noktalarının irtibatı kesilir.

$$t_A = \frac{L}{4} \cdot \frac{(i_w)_{-\alpha}}{U_{12}} \quad (6.1)$$

Sekil 6.4. (a)' da 1. kademenin eşdeğer devresi görülmektedir.

### 6.3.1.2. İkinci Kademenin Hesabı

$$i_{T1} = (i_w)_{-\alpha}$$

$$i_{D3} = 0 \quad \text{iken.}$$

$$t = 0 \text{ için: } U_{C1} = U_{12} \text{ deder. } D_3 \text{ akım geçirmez.}$$

$$U_{C3} = 0$$

$$i_{C1} = 0$$

$$i_{C3} = 0 \quad \text{iken}$$

Kademe süresince:  $D_1$  ve  $D_3$  akım geçirmez.  $C_1$ ,  $T_1 - L_1$  üzerinden boşalırken  $C_3$  dolanır.  $U_{92} = 0$  olmalıdır.  $i_{T1}$ 'in fazlalığını  $D_1$  üzerinden alır.

$$i_{T1} = (i_{T1})_K = (i_{T1})_{\max}$$

$$U_{C1} = 0$$

$$t = t_K \text{ için}$$

$$U_{C3} = U_{12}$$

$$U_{92} = U_{12}$$

olur.

O halde kademe sonunda, 1 ile 3 irtibatlanacaktır.

$$t_F = T'/6 \quad (6.2)$$

$$t_K = T'/4 \quad (6.3)$$

$$T' = \frac{2 \cdot \pi}{w} \quad (6.4)$$

$$w = \sqrt{\frac{2}{L \cdot C}} \quad (6.5)$$

$$(i_{Tl})_K = (i_w)_{-} - \frac{U_{12}}{L \cdot w} \quad (6.6)$$

*Sekil 6.4.(c)' de 4. kademenin eşdeğer devresi*

*Sekil 6.4. (b)' de 2. kademenin eşdeğer devresi görülmektedir.*

### 6.3.1.3. Üçüncü Kademenin Hesabı

$$i_{Tl} = (i_{Tl})_K$$

$$i_{D3} = 0$$

$t = 0$  için:

$$U_{Cl} = 0$$

$$U_{C3} = U_{12}$$

$$i_{Cl} = 0$$

$$i_{C3} = 0$$

iken,

Kademe süresince:  $D_1$  iletimdedir.  $D_3$  akım geçirmez.

1 ile 3 noktaları irtibatlıdır.  $U_{Cl} = 0$ ,  $U_{C3} = U_{12}$ ,  $i_{Cl} = 0$ ,  $i_{C3} = 0$  ve  $U_{92} = U_{12}$  olarak kalır.  $i_{Tl}$ ' in fazlalığını  $D_1$  üzerine alır.

$t = t_E$  için:

$$i_{Tl} = (i_w)_{-}$$

$$i_{D1} = 0$$

olur.

O halde kademe sonunda,  $i_{Tl} = (i_w)_{-}$  olarak komütasyon biter.

$$t_E = \frac{L}{4 \cdot R} \cdot \ln \frac{(i_{Tl})_K \cdot R + \Delta U}{(i_w)_{-} \cdot R + \Delta U} \quad (6.7)$$

R: Bobin ve bağlantı iletkenlerinin direnci :

U:  $T_1$  ve  $D_1$ ' deki gerilim düşümü

R.  $(i_{T_1})_K$  ifadesi U yanında ihmal edilirse: Hesabı:

$$V_1' \text{ in ictine geçip } V_3' \text{ ün iletimden çıktıği bir (-)} \\ t_E = \frac{U_{12}}{\Delta U} \cdot \frac{T'}{2\pi} \quad (6.8)$$

(+) yanında, (-) yanında  $(i_w)_{-d}$  akımını  $V_3'$  ünitesinin bulunur.

Şekil 6.4.(c)' de 3. kademenin eşdeğer devresi görülmektedir. Kademe konutasyon basları (Şekil 6.2)- $T_3$ ' üzerinde geçenlerde tür.

elen akımı  $D_1'$  in üzerine almasıyla son bulur. Şekil 6.6'da konutasyon süresince  $T_1$  den geçen akımın (b) ve  $T_3$  uçlarında gerilisinin (c) değişimi görülmektedir.

### 6.3.2.1. Birinci Kademenin Hesabı

$$i_{T_1} = 0$$

$$i_{T_3} = (i_w)_{-d}$$

$$t = 0 \text{ için } U_{C1} = U_{12}$$

$$U_{C3} = 0$$

$$i_{C1} = 0$$

$$i_{C3} = 0$$

Kademe süresince  $D_1$  ile  $D_3$  geçirmes.  $T_1$  in tetiklenmesiyle  $T_3$  uçlarında meydana gelen endüksiyon gerilisi  $\beta$  ile 2 noktalarının irtibatını kaser.  $i_{T_1} = i_{C1} = i_{C3}$  dir.

$i_{C3} = (i_w)_{-d}$  olmasıyla bu kademe son bulur.  $U_{C1}$  çok az azalar.  $U_{C3}$  çok az artar. Bu kademe meydana gelen değişiklikler ihmal edilebilir.

$$i_{T_1} = i_{C1} = (i_w)_{-d}$$

$$\text{t}_{\text{sat}_A} \text{ için: } i_{C3} = 0$$

O halde kademe sonunda,  $i_{T_1} = i_{C1} = i_{C3} = (i_w)_{-d}$  dir.

$$(i_w)_{-d}$$

$$t_A = 2.5$$

$$U_{12}$$

$$(6.9)$$

$$t_A = 0$$

$$(6.10)$$

### 6.3.2. (-) Akımda Komütasyon Hesabı

$V_1'$  in iletime geçip  $V_3'$ 'ün iletimden çıktığı bir (-) akımda komütasyonu ele alalım:

(- $\alpha$ ) anında, (-) yönde  $(i_w)_{-\alpha}$  akımını  $V_3$  ünitesinin  $T_3$  tristörü geçirmekte iken  $V_1$  ünitesinin  $T_1$  tristörü tetiklenerek komütasyon başlar (Şekil 6.5).  $T_3$  üzerinden geçmekte olan akımı  $D_1'$  in üzerine almasıyla son bulur. Şekil 6.6'da komütasyon süresince  $T_1$  den geçen akımın (b) ve  $T_3$  uçlarında gerilimin (c) değişimi görülmektedir.

#### 6.3.2.1. Birinci Kademenin Hesabı

$$i_{T1} = 0$$

$$i_{T3} = (i_w)_{-\alpha}$$

$$t = 0 \text{ için } U_{C1} = U_{12}$$

$$U_{C3} = 0$$

$$i_{C1} = 0$$

$$i_{C3} = 0 \quad \text{iken,}$$

Kademe süresince:  $D_1$  ile  $D_3$  geçirmez.  $T_1$ 'in tetiklenmesiyle  $T_3$  uçlarında meydana gelen endüksiyon gerilimi 3 ile 2 noktalarının irtibatını keser.  $i_{T1} = i_{C1} = i_{C3}$  dür.

$i_{C3} = (i_w)_{-\alpha}$  olmasıyla bu kademe son bulur.  $U_{C1}$  çok az azalır,  $U_{C3}$  çok az artar. Bu kademedede meydana gelen değişiklikler ihmal edilebilir.

$$i_{T1} = (i_w)_{-\alpha}$$

$$t = t_A \text{ için: } i_{T3} = 0 \quad \text{olur.}$$

O halde kademe sonunda,  $i_{T1} = i_{C1} = i_{C3} = (i_w)_{-\alpha}$  olur.

$$t_A = 2 \cdot L_w \cdot \frac{(i_w)_{-\alpha}}{U_{12}} \quad (6.9)$$

$$t_A \approx 0 \quad (6.10)$$

alınabilir.

Şekil 6.7. (a)' da 1. kademenin eşdeğer devresi görülmektedir.

### 6.3.2.2. İkinci Kademenin Hesabı

$$i_{T1} = (i_w)_{-\alpha}$$

$$t=0 \text{ için: } i_{T3} = 0$$

$$U_{C1} = U_{12}$$

$$U_{C3} = 0$$

$$\text{Kademe süresince: } i_{C1} = (i_w)_{-\alpha}$$

$$i_{C3} = (i_w)_{-\alpha} \quad \text{iken,}$$

Kademe süresince:  $D_1$  ile  $D_3$  geçirmez.  $C_1$ ,  $T_1-L_1$  üzerinden boşalırken  $C_3$  dolar.  $U_{92}$  belli bir zaman (-) kaldıktan sonra ( $t_F$  kadar) (+) olmaya başlar.

$$i_{T1} = (i_{T1})_K = (i_{T1})_{\max}$$

$$t=t_K \text{ için: } U_{C1} = 0$$

$$U_{C3} = U_{12}$$

$$U_{92} = U_{12} \quad \text{olur.}$$

O halde kademe sonunda, 1 ile 3 noktaları irtibatlanmaktadır.

$$\frac{1 - 2 \cdot \cos(w \cdot t_F)}{\sin(w \cdot t_F)} = \frac{L \cdot w \cdot (i_w)_{-\alpha}}{U_{12}} \quad (\text{Şekil 6.8}) \quad (6.11)$$

$$t_K = \frac{1}{w} \cdot \arctg \left( - \frac{2 \cdot U_{12}}{L \cdot w \cdot (i_w)_{-\alpha}} \right) \quad (6.12)$$

$$(i_{T1})_K = (i_w)_{-\alpha} + \frac{U_{12}}{L \cdot w} \cdot \sin(w \cdot t_K) - 2 \cdot (i_w)_{-\alpha} \cdot \cos(w \cdot t_K) \quad (6.13)$$

Şekil 6.7. (b)' de 2. kademenin eşdeğer devresi görülmektedir.

### 6.3.2.3. Üçüncü Kademenin Hesabı

$$i_{Tl} = (i_{Tl})_K$$

$$i_{T3} = 0$$

$$U_{Cl} = 0$$

$t=0$  için: devresi "depo" gibi görülmektedir.

$$U_{C3} = U_{12}$$

$$i_{Cl} = 0$$

$$i_{C3} = 0$$

iken,

Kademe süresince:  $D_1$  iletimdedir.  $D_3$  akım geçirmez.

1 ile 3 noktaları irtibatlıdır.  $U_{Cl} = 0$ ,  $U_{C3} = U_{12}$ ,  $i_{Cl} = 0$ ,  $i_{C3} = 0$  ve  $U_{92} = U_{12}$  olarak kalır.  $i_{Tl}$ 'in fazlalığını  $D_1$  üzerine alır.

$$i_{Tl} = 0$$

$t=t_E$  için:  $i_{Dl} = (i_w)_{-\alpha}$  olur.

O halde kademe sonunda,  $i_{Dl} = (i_w)_{-\alpha}$  olarak komütasyon biter.

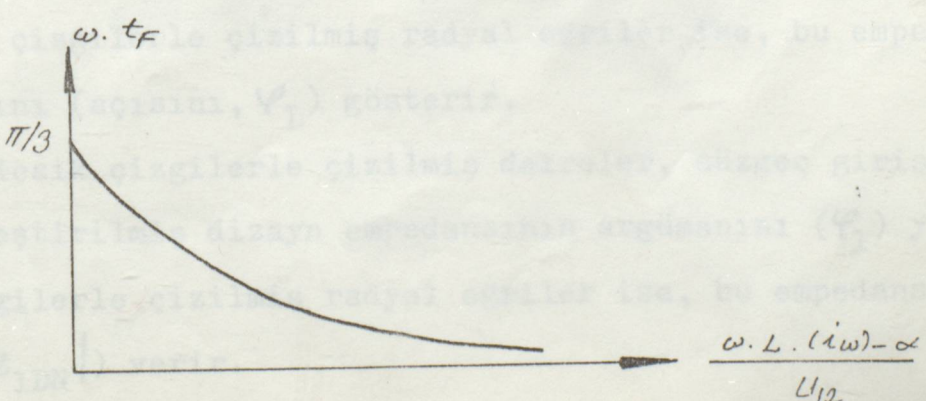
$$t_E = \frac{L}{4 \cdot R} \cdot \ln \frac{(i_{Tl})_K \cdot R + \Delta U}{\Delta U} \quad (6.14)$$

R.  $(i_{Tl})_K$  ifadesi  $U$  yanında ihmal edilirse:

$$t_E = \frac{L}{4} \cdot \frac{(i_{Tl})_K}{\Delta U} \quad (6.15)$$

bulunur.

Şekil 6.7.(c)'de 3. kademenin eşdeğer devresi görülmektedir.

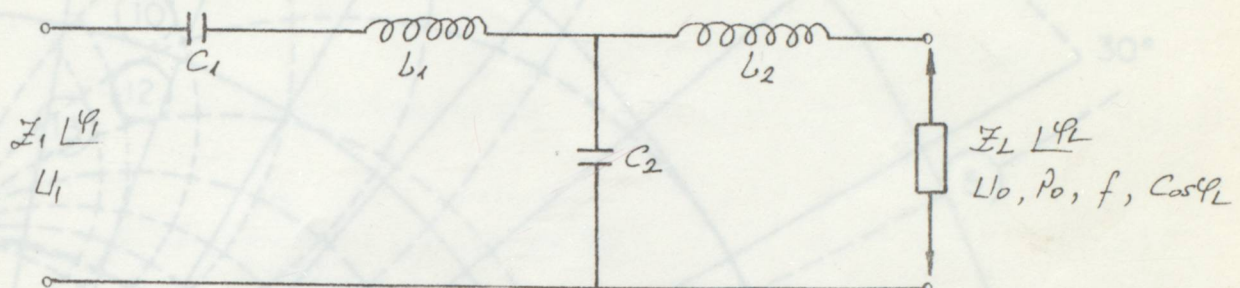


(4)

## 7. FİLTRE DEVRESİ

### 7.1. F i l t r e D e v r e s i

Şekil 7.1' de " Ott Süzgeci" görülmektedir.



Şekil 7.1

$U_o$ : Yük gerilimi

$P_o$ : Yükün gücü

$f$ : Yükün frekansı

$\cos \varphi_L$ : Yükün güç faktörü

$Z_L \angle \varphi_L$ : Yükün empedansı (Süzgeç çıkış empedansı)

$U_1$ : Suzgeç giriş gerilimi

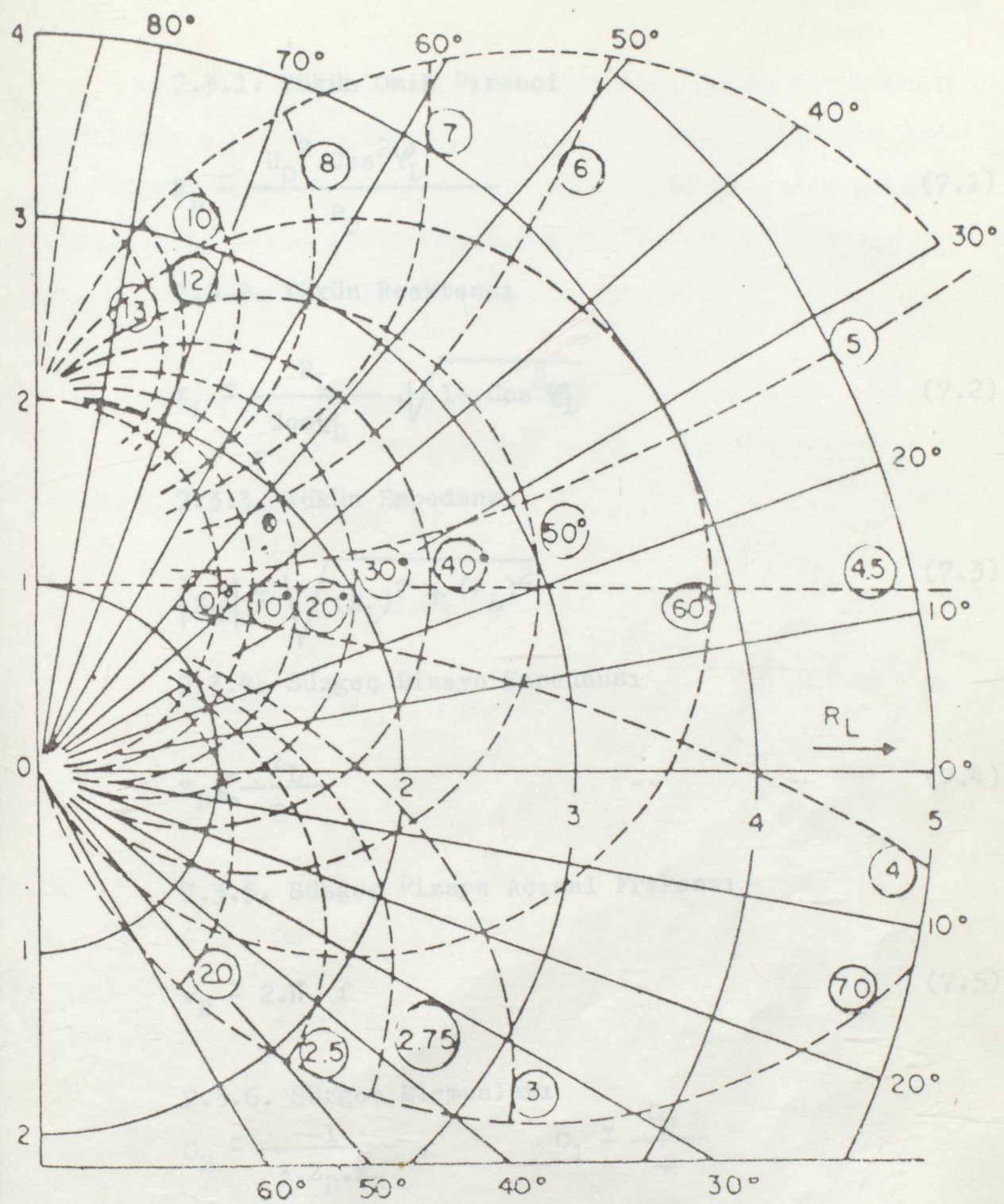
$Z_1 \angle \varphi_1$ : Suzgeç giriş empedansı

### 7.2. " Smith Grafiği "

Şekil 7.2' de "Smith Grafiği" görülmektedir.

Sürekli çizgilerle çizilmiş daireler, yükün normalleştirilmiş dizayn empedansının modülünü (şiddetini,  $|Z_{LDN}|$ ) yine sürekli çizgilerle çizilmiş radyal eğriler ise, bu empedansın argümanını (açısını,  $\varphi_L$ ) gösterir.

Kesik çizgilerle çizilmiş daireler, süzgeç girişinin normalleştirilmiş dizayn empedansının argümanını ( $\varphi_1$ ) yine kesik çizgilerle çizilmiş radyal eğriler ise, bu empedansın modülü ( $|Z_{1DN}|$ ) verir.



Şekil 7.2

### 7.3. Filtre Devresi Hesabı

#### 7.3.1. Yükün Omik Direnci

$$R_L = \frac{U_0^2 \cdot \cos^2 \varphi_L}{P_0} \quad (7.1)$$

#### 7.3.2. Yükün Reaktansı

$$X_L = \frac{R_L}{\cos \varphi_L} \cdot \sqrt{1 - \cos^2 \varphi_L} \quad (7.2)$$

#### 7.3.3. Yükün Empedansı

$$|Z_L| = \sqrt{(R_L)^2 + (X_L)^2} \quad (7.3)$$

#### 7.3.4. Süzgeç Dizayn Empedansı

$$Z_D \leq \frac{Z_L}{2} \quad (7.4)$$

#### 7.3.5. Süzgeç Dizayn Açısal Frekansı

$$\omega_D = 2\pi f \quad (7.5)$$

#### 7.3.6. Süzgeç Elemanları

$$C_2 = \frac{1}{3 \cdot Z_D \cdot \omega_D}, \quad C_1 = \frac{C_2}{2}$$

$$L_2 = \frac{Z_D}{\omega_D}, \quad L_1 = \frac{2 \cdot L_2}{9} \quad (7.6)$$

#### 7.3.7. Yükün Normalleştirilmiş Dizayn Empedansı

$$Z_{LDN} = \frac{Z_L}{15} \quad \varphi_L \quad (7.7)$$

### 7.3.8. Girişin Normalleştirilmiş Dizayn Empedansı

$Z_{1DN} \left| \varphi_1 \right.$  Smith Grafiğinden bulunur. Şöyledir ki: Sürekli çizgilerle çizilmiş olan  $Z_{LDN} \left| \varphi_L \right.$ 'yi gösteren daire ile radyal eğrinin kesim noktası tespit edilir. Bu noktadan geçen ve kesikli çizgilerle çizilmiş olan daire ve radyal eğriden  $Z_{1DN} \left| \varphi_1 \right.$  empedansı bulunur. (8.1)

### 7.3.9. Süzgeç Giriş Empedansı Seçimi

Transistorların seçiminde aşağıdaki hususlar dikkate alınmalıdır:

$$Z_1 \left| \varphi_1 \right. = 15 \cdot Z_{1DN} \left| \varphi_1 \right. \quad (7.8)$$

### 7.3.10. Süzgeç Giriş Gerilimi (8.2)

$$U_1 = \frac{\sqrt{2}}{4} \cdot \pi |Z_1| \cdot \left( \frac{P_0}{R_1} \right)^{1/2} \quad (7.9)$$

Diyotlara benzer şekilde triistörlerde de:

$$U_{DRM} > U_{PRM} > 2 \cdot U_{12} \quad (8.3)$$

olmalıdır.

$U_{DRM}$ : Peryodik pozitif kapama geriliminin tepsedeği değeri

$U_{PRM}$ : Peryodik negatif kapama geriliminin tepsedeği değeri

### -8.2.3. Gerilim Yükselme Hızı

(+) akımda komütasyonda:

$$\left( \frac{dU}{dt} \right)_{kt} = \frac{dU_{12}}{dt} = 2 \cdot \pi \cdot U_{12} \quad (8.4)$$

(-) akımda komütasyonda:

$$\left( \frac{dU}{dt} \right)_{kt} = \frac{dU_{12}}{dt} = 2 \cdot \pi \cdot U_{12} \cdot \sin(\omega t - \varphi_0) \cdot e^{\pm j\omega t} \cdot \cos(\omega t) \quad (8.5)$$

## 8. DİYOT ve TRİSTÖRLERİN SEÇİMİ

### 8.1. Diyotların Seçimi

Diyotlar, herhangi bir arızı sebeple dolu kalmış bir kondansatör üzerinden şebekeye bağlanarak, şebeke geriliminin 2 katı bir gerilime maruz kalabilir. O halde:

$$\text{Diyot Gerilimi} \geqslant 2 \cdot U_{12} \quad (8.1)$$

olmalıdır.

### 8.2. Tristörlerin Seçimi

Tristörlerin seçiminde aşağıdaki hususlar dikkate alınacaktır.

#### 8.2.1. Serbest Kalma Zamanı

$$t_q \leq t_F \quad (8.2)$$

olmalıdır.

#### 8.2.2. (+) ve (-) kapama Gerilimleri

Diyotlara benzer şekilde tristörlerde de:

$$U_{DRM}, U_{RRM} \geqslant 2 \cdot U_{12} \quad (8.3)$$

olmalıdır.

$U_{DRM}$ : Peryodik pozitif kapama geriliminin tepe değeri

$U_{RRM}$ : Peryodik negatif kapama geriliminin tepe değeri

#### 8.2.3. Gerilim Yükselme Hızı

(+) akımda komütasyonda:

$$\left( \frac{dU}{dt} \right)_{krt} \geqslant \left( \frac{dU_{92}}{dt} \right)_{\max} = 2 \cdot w \cdot U_{12} \quad (8.4)$$

(-) akımda komütasyonda:

$$\left( \frac{dU}{dt} \right)_{krt} \geqslant \left( \frac{dU_{92}}{dt} \right)_{t=t_F} = 2 \cdot w \cdot U_{12} \cdot \sin(w \cdot t) - (i_w)_- \cdot w^2 \cdot L \cdot \cos(w \cdot t) \quad (8.5)$$

#### 8.2.4. Akım Yükselme Hızı

$$\left(\frac{di}{dt}\right)_{krt} \geq \left(\frac{di_A}{dt}\right)_{\max} \quad (8.6)$$

olmalıdır.

(+) akımda komütasyonda: (ektif degeri)

$$\left(\frac{di_A}{dt}\right)_{\max} = \frac{U_{12}}{L/4} \quad (8.7)$$

(-) akımda komütasyonda: (gücü)

$$\left(\frac{di_A}{dt}\right)_{\max} = \frac{U_{12}}{2 \cdot L_{\zeta}} \quad (8.8)$$

$L_{\zeta}$ : Kaçak endüktivite

#### 8.2.5. Tepe Akımı

$$I_{TRM} \geq (i_T)_K \quad (8.9)$$

olmalıdır.

#### 8.2.6. Isınma

Şekil 8.1'de, (+) akımda komütasyonlu olarak bir tristörden geçen akımın (a) ve toleranslı bir düşünce ile çizilmiş eşdeğer akımın (b) değişimi görülmektedir.

Toleranslı olarak bir tristörden geçen akım:

( $\beta_1$ ) aralığında :

$$i_{T1} = (i_T)_K - \frac{(i_T)_K - (i_w)_{\max}}{\beta_1} \cdot (w_w \cdot t) \quad (8.10)$$

( $\beta_2$ ) aralığında:

$$i_{T2} = (i_w)_{\max} \quad (8.11)$$

$$\beta_1 = t_E \cdot w_w \quad (8.12)$$

$$\beta_2 = \pi - \beta_1 \quad (8.13)$$

Tristörden geçen akımın aritmetiksel ortalama değeri:

$$I_{TAV} = \frac{1}{2\pi} \cdot \int_{0}^{\pi} i_T \cdot d(w_w \cdot t) \quad (8.14)$$

Tristörden geçen akımın efektif değeri:

$$I_{TEF}^2 = \frac{1}{2\pi} \cdot \int_{0}^{\pi} (i_T)^2 \cdot d(w_w \cdot t) \quad (8.15)$$

Tristörün geçirme kayıp gücü:

$$P_T = U_{TO} \cdot I_{TAV} + r_T \cdot I_{TEF}^2 \quad (8.16)$$

$P = P_T$  alınarak:

Tristörün jonksiyon sıcaklığı da:

$$\theta_{vj} = \theta_A + P \cdot (R_{ThCA} + R_{ThjC}) \quad (8.17)$$

bağıntılarından bulunabilir.

$$\theta_{vj} \leq \text{İşletme Sıcaklığı} \quad (8.18)$$

olmalıdır.

$U_{TO}$ : Eşik gerilimi

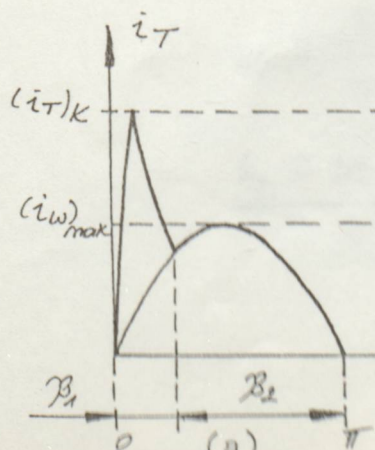
$r_T$ : Eşdeğer direnç

$P$ : Toplam kayıp gücü

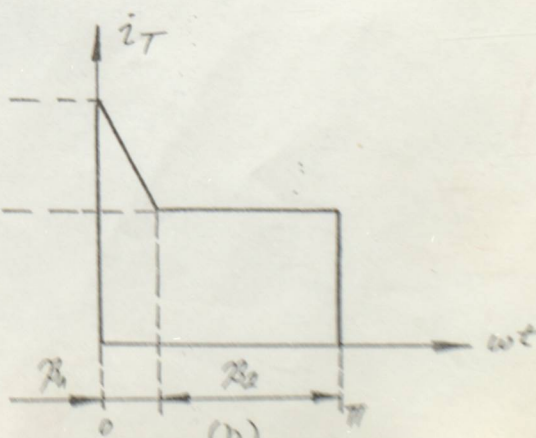
$\theta_A$ : Ortam (soğutma havası) sıcaklığı

$R_{ThCA}$ : Dış termik direnç

$R_{ThjC}$ : İç termik direnç



Şekil 8.1



Beş temel kısımdan meydana gelen KGK' larını teorik olarak incelediğimize göre; belli bir yükün KGK' ları ile beslenmesi gerektiğinde yapılacak hesapları şöyle bir örnekle gösterebiliriz.

#### 9. BİR HESAP ÖRNEĞİ:

$$U_0 = 220 \text{ V.}$$

$$P_0 = 440 \text{ W.}$$

$$\cos \varphi_L = 0,70$$

$$f = 50 \text{ Hz.}$$

olan bir yükün KGK ile beslenmesi istenmektedir. Alternatif şebeke gerilimi 220 V., frekans 50 Hz. ve ak. bataryası gerilimi 96 V. olduğuna göre: KGK için tam bir hesap örneği aşağıda çıkarılmıştır.

##### 9.1. F i l t r e D e v r e s i H e s a b ı

1. (7.1)' den:

$$R_L = \frac{(220)^2 \cdot (0,70)^2}{440}$$

$$\underline{R_L = 53,9 \Omega}$$

2. (7.2)' den:

$$X_L = \frac{53,9}{0,70} \cdot \sqrt{1 - (0,70)^2}$$

$$\underline{X_L = 55 \Omega}$$

3. (7.3)' den:

$$z_L = \sqrt{(53,9)^2 + (55)^2}$$

$$\underline{z_L = 77 \Omega}$$

4. (7.4)' den:

$$z_D \leq \frac{77}{2}$$

$$\underline{z_D \leq 38,5 \Omega}$$

5. (7.5)' den:

$$w_D = 2 \cdot 3,14 \cdot 50$$

$$w_D = 314 \text{ rad/sn.}$$

6. (7.6)' den:

$$c_2 = \frac{1}{3 \cdot 38,5 \cdot 314}$$

$$\underline{c_2 = 27,6 \mu F.}$$

$$L_2 = \frac{38,5}{314}$$

$$\underline{L_2 = 122,6 \text{ mH.}}$$

$$c_1 = \frac{27,6}{2}$$

$$\underline{c_1 = 13,8 \mu F.}$$

$$L_1 = \frac{2 \cdot 122,6}{9}$$

$$\underline{L_1 = 27,2 \text{ mH.}}$$

7. (7.7)' den:

$$z_{LDN} \angle \varphi_L = \frac{77}{15} \angle 45^\circ$$

$$\underline{z_{LDN} \angle \varphi_L = 5 \angle 45^\circ}$$

8. Smith Grafigi'nden:

$$\underline{z_{LDN} \angle \varphi_1 = 6 \angle 70^\circ}$$

9. (7.8)' den:

$$z_1 \angle \varphi_1 = 15.6 \angle 70^\circ$$

$$R_1 = 90 \cdot \cos 70^\circ$$

$$z_1 \angle \varphi_1 = 90 \angle 70^\circ$$

$$R_1 = 30,8 \Omega$$

10. (7.9)' dan:

$$U_1 = \frac{\sqrt{2}}{4} \cdot 3,14 \cdot 90 \cdot \left( \frac{440}{30,8} \right)^{1/2}$$

$$U_1 = 377,6 \text{ V.}$$

Şekil 9.1

### 1. Komütasyon Türü

Aslında 5.2.(b)' deki gibi olan transformator primerinden geçen akımın ( $\alpha = 0$  için), Şekil 9.1' de görüldüğü gibi sinusoidal olduğunu kabul edelim. Şekil 9.1' den anlaşılabileceği gibi tristörlerden geçmekte olan akıma, komütasyona dichtetir. Üzerine almaktadır.  $\alpha = 0$  için neg (-) akımda komütasyon meydana gelir.

### 2. Transformatör Oranı

(5.5)' den:

$$(U_{24})_{\text{REF}} = 9,9 \cdot 36$$

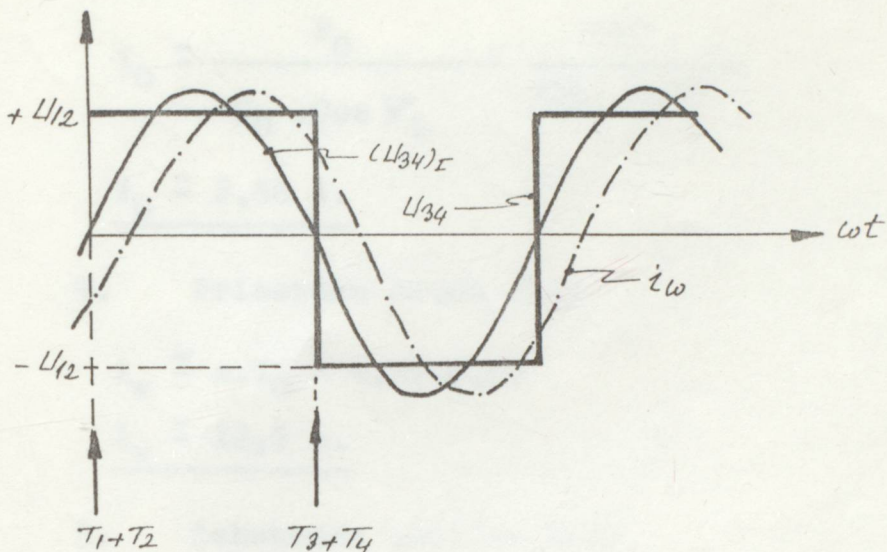
$$(U_{24})_{\text{REF}} = 86,4 \text{ V.}$$

$$U_{25} = U_1 = 377,6 \text{ V.}$$

olduğuna göre:

$$\frac{U_{25}}{(U_{24})_{\text{REF}}} = \frac{377,6}{86,4}$$

## 9.2. Komütasyon Hesabı



Şekil 9.1

### 1. Komütasyon Türü

Aslında 5.2.(b)' deki gibi olan transformatör primerinden geçen akımının ( $\alpha = 0$  için), Şekil 9.1' de görüldüğü gibi sinüsoidal olduğunu kabul edelim. Şekil 9.1' den anlaşılacağı gibi tristörlerden geçmekte olan akımı, komütasyonla diyonlar üzerine almaktadır. O halde:  $\alpha = 0$  için neg (-) akımda komütasyon meydana gelir.

### 2. Transformasyon Oranı

(5.3)' den:

$$(U_{34})_{IEF} = 0,9 \cdot 96$$

$$\underline{(U_{34})_{IEF}} = 86,4 \text{ V.}$$

$$U_{56} = U_1 = 377,6 \text{ V.}$$

olduğuna göre:

$$a = \frac{U_{56}}{(U_{34})_{IEF}} = \frac{377,6}{86,4}$$

$$a = 4,37$$

3. Adım Yük Akımı

(6.5)' den:

$$I_0 = \frac{P_0}{U_0 \cdot \cos \varphi_L} = \frac{440}{220 \cdot 0,70}$$

$$\underline{I_0 = 2,86 \text{ A.}}$$

4. Primerden Geçen Akım

$$I_w = a \cdot I_0 = 4,37 \cdot 2,86$$

$$\underline{I_w = 12,5 \text{ A.}}$$

5. Şebekeyden Çekilen Akım

$$I_E = \frac{2 \cdot I_m}{\pi} = \frac{2 \cdot 2 \cdot 12,5}{3,14}$$

$$\underline{I_E = 11,26 \text{ A.}}$$

6. Komütasyon Anındaki Akım

$$(i_w)_{+\alpha} = (i_w)_{-\alpha} = (i_w)_0$$

$$(i_w)_0 = I_m \cdot \sin 1 = 2 \cdot 12,5 \cdot \sin 70^\circ$$

$$\underline{(i_w)_0 = -16,61 \text{ A.}}$$

7. (-) Akımdaki Komütasyon Hesabı

T 35 N tipi tristörler

BYY 600 tipi diyonetler

kullanılmış olsun.

$$L = 200 \text{ H.}$$

$$C = 400 \text{ F.}$$

$$L = 9 \text{ H.}$$

$$U = 3 \text{ V.}$$

olarak verildiğine göre,

$$U_T = 2 \text{ V.}$$

$$U_D = 1 \text{ V.}$$

olduğuna göre,

(6.5)' den:

$$(6.12) \quad w = \sqrt{\frac{2}{200 \cdot 10^{-6} \cdot 400 \cdot 10^{-6}}}$$

$$w = 5000 \text{ rad/sn.}$$

(6.10)' dan:

$$(6.13) \quad t_A = \frac{2 \cdot 9 \cdot 10^{-6} \cdot (-16,61)}{96}$$

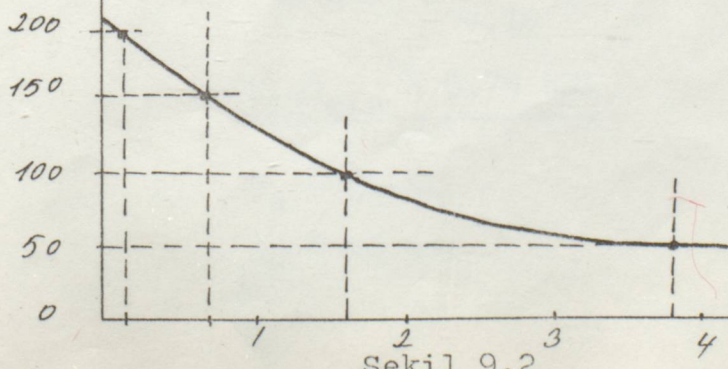
$$t_A = 3,11 \text{ s.}$$

(6.11) bağıntısında  $t_F$ ' e çeşitli verilerek (9.1) tablosu hazırlanır ve bu tabloya göre (9.2) eğrisi ölçekli olarak çizilir,

$t_F$ (s)	$w \cdot t_F$ (rad)	$\frac{1 - 2 \cdot \cos(w \cdot t_F)}{\sin(w \cdot t_F)}$
200	1	0
150	0,75	0,68
100	0,50	1,57
50	0,25	3,79

$t_F$  (s)

Tablo: (9.1)



Sekil 9.2

$$\frac{L \cdot w \cdot (i \omega) - \alpha}{U_{12}}$$

$$\frac{L \cdot w \cdot (i_w)_{-\alpha}}{U_{12}} = \frac{200 \cdot 10^{-6} \cdot 5000 \cdot (-16,61)}{96} = -0,17$$

0,17 için (9.1) eğrisinden:

$$t_F = 193 \text{ ms.}$$

(6.12)' den:

$$t_K = \frac{1}{5000} \cdot \operatorname{Arctg} \left( \frac{-2,96}{200 \cdot 10^{-6} \cdot 5000 \cdot (-16,61)} \right)$$

$$t_K = 296,9 \text{ ms}$$

(6.13)' den:

$$(i_{T1})_K = -16,61 + \frac{96}{\frac{200 \cdot 10^{-6} \cdot 500}{4}} \cdot \sin(5000 \cdot 296,9 \cdot 10^{-6}) - 2 \cdot (-16,61) \cdot \cos(5000 \cdot 296,9 \cdot 10^{-6})$$

$$(i_{T1})_K = 368,82 \text{ A.}$$

(6.14)' den:

$$t_E = \frac{200 \cdot 10^{-6}}{4 \cdot 200 \cdot 10^{-3}} \cdot \ln \left( \frac{368,82 \cdot 200 \cdot 10^{-3} + 3}{3} \right)$$

$$t_E = 810,53 \text{ ms.}$$

(4.5)' den:

$$(R_{12})_{\min} = 4 \cdot 10^{-3}$$

$$(R_{12})_{\min} = 5,75 \text{ k}\Omega$$

$$V_d = 24 \text{ V.}$$

$$I_d = 40 \text{ mA.}$$

40

### 9.3. T e t i k l e m e D e v r e s i H e s a b ı

BSV 57 B tipi UJT'ler

2N 6398 tipi tristörler

33 V. tipi diyaklar

kullanılmış olsun.

$$1. \eta = 0,73$$

$$U_1 = 24 \text{ V.}$$

$$U_v = 1 \text{ V.}$$

$$I_v = 4 \text{ mA.}$$

olduğuna,

$$C_1 = 0,022 \mu\text{F.}$$

olarak seçildiğine göre:

$T = 20 \text{ ms. olması için (4.3)' den:}$

$$R_{11} = \frac{20 \cdot 10^{-3}}{0,022 \cdot 10^{-6} \cdot \ln(\frac{1}{1-0,73})}$$

$$\underline{R_{11} = 694,3 \text{ k}\Omega}$$

$T = 10 \text{ ms. olması için (4.3)'den:}$

$$R_{13} = R_{14} = \frac{694,3}{2}$$

$$\underline{R_{13} = R_{14} = 347,15 \text{ k}\Omega}$$

(4.5)' den:

$$(R_{12})_{\min} = \frac{24-1}{4 \cdot 10^{-3}}$$

$$\underline{(R_{12})_{\min} = 5,75 \text{ k}\Omega}$$

$$2. U_d = 24 \text{ V.}$$

$$I_H = 40 \text{ mA.}$$

olduğuna göre:

$$RT_2 = RT_3 = RT_4 = RT \quad 10^{-3}$$

$$RT \leqslant \frac{U_d}{I_H} = \frac{24}{40 \cdot 10^{-3}}$$

$$RT \leqslant 600$$

$$\underline{RT = 400}$$

seçilsin.

3.  $(4.10)'$  dan:

$$I_d = \frac{24}{400}$$

$$\underline{I_d = 60 \text{ mA.}}$$

4.  $C_s = 1,25$

kabul edildiğine,

$$t_q = 120 \text{ } \mu\text{s.}$$

olduğuna göre:

$$CS_2 = CS_3 = CS_4 = CS$$

$(4.9)'$  dan:

$$CS \geqslant \frac{1,25 \cdot 120 \cdot 10^{-6} \cdot 60 \cdot 10^{-3}}{24}$$

$$CS \geqslant 0,375 \text{ } \mu\text{F.}$$

$$CS = 0,470 \text{ } \mu\text{F.}$$

seçilsin.

5.  $U_d = 48 \text{ V.}$

$$U_{DS} = 33 \text{ V.}$$

$$t = 10 \text{ ms.}$$

$$CS = 0,470 \text{ } \mu\text{F.}$$

olduğuna göre:

$$(4.11)' \text{ den: } R_{\text{es6}} = \frac{10 \cdot 10^{-3}}{R_S \cdot 0,470 \cdot 10^{-6}}$$

$$33 = 48 \cdot (1 - e^{-\frac{10}{R_{\text{es6}}}})$$

kullanılaç懒得ım.

$$\underline{R_S = 18,29 \text{ k}\Omega}$$

$$1. \quad U_T = 2 \text{ V.}$$

$$U_D = 1 \text{ V.}$$

olduguna göre:

$$(3.3) ' \text{ den:}$$

$$U_A = 96 + 2 + 2 \cdot 1$$

$$\underline{U_A = 100 \text{ V.}}$$

$$2. \quad (U_A)_{\text{max}} = U_A + \frac{10}{100} \cdot U_A = 96 + \frac{10}{100} \cdot 96$$

$$\underline{(U_A)_{\text{max}} = 105,6 \text{ V.}}$$

$$3. \quad (3.4) ' \text{ den:}$$

$$U_m \leq 105,6 + 2 + 2 \cdot 1$$

$$U_m \leq 109,6 \text{ V.}$$

$$4. \quad (3.5) ' \text{ den:}$$

$$\beta = \text{Arcsin} \frac{100}{109,6}$$

$$\underline{\beta = 66^\circ}$$

$$5. \quad (3.7) ' \text{ den:}$$

$$2. \quad \frac{220}{109,6}$$

$$\underline{a = 2,06}$$

6. Tetikleme devresinin toplam I A' lik akım hesabını  
kabul edilirse:

$$I_d = I_B + i = 11,20 + 1$$

9.4. Redresör Devresi Hesabı

T 35 N tipi tristörler

7. (3.3)' den bilerek bilindigine göre;  
BYY 600 tipi diyonetler

kullanılmış olsun.

$$1. \quad U_T = 2 \text{ V.}$$

$$U_D = 1 \text{ V.}$$

olduğuna göre:

(3.3)' den:

$$U_i = 96 + 2 + 2 \cdot 1$$

$$\underline{U_i = 100 \text{ V.}}$$

$$2. (U_A)_{\max} = U_A + \frac{10}{100} \cdot U_A = 96 + \frac{10}{100} \cdot 96$$

$$\underline{(U_A)_{\max} = 105,6 \text{ V.}}$$

3. (3.4)' den:

$$U_m \leqslant 105,6 + 2 + 2 \cdot 1$$

$$U_m \leqslant 109,6 \text{ V.}$$

4. (3.5)' den:

$$\beta = \arcsin \frac{100}{109,6}$$

$$\underline{\beta = 66^\circ}$$

5. (3.7)' den:

$$a = \frac{2 \cdot 220}{109,6}$$

$$\underline{a = 2,86}$$

6. Tetikleme devresinin toplam 1 A' lik akım çektiği kabul edilirse:

$$I_d = I_E + 1 = 11,26 + 1$$

$$\underline{I_d = 12,26 \text{ A.}}$$

7. (3.8)' den:  $\eta_Q = 0,80$  olarak bilindiğine göre;

$$\underline{I_T = \frac{12,26}{0,80}}$$

$$\underline{I_T = 15,32 \text{ A.}}$$

8. (3.9)' dan:

$$15,32 = \frac{1}{3,14} \cdot \int_{66^\circ}^{180^\circ - 66^\circ} \frac{109,6 \cdot \sin(w \cdot t) - 96 - 2 - 2 \cdot 1}{R_T} \cdot d(w \cdot t)$$

$$= \frac{1}{3,14 \cdot R_T} \cdot \int_{66^\circ}^{114^\circ} (109,6 \cdot \sin(w \cdot t) - 100) \cdot d(w \cdot t)$$

$$= \frac{1}{3,14 \cdot R_T} \cdot \left| -109,6 \cdot \cos(w \cdot t) - 100 \cdot (w \cdot t) \right|_{66^\circ}^{114^\circ}$$

$$\underline{R_T = 113 \text{ m}\Omega}$$

$$\underline{R_i = 3 \text{ m}\Omega}$$

$$\underline{R_L = 10 \text{ m}\Omega}$$

olarak kabul edilirse:

(3.1)' den:

$$R_S = 113 - 3 - 10$$

$$\underline{R_S = 100 \text{ m}\Omega}$$

9. (3.10)' dan:

$$P_{RS} = (15,32)^2 \cdot 100 \cdot 10^{-3}$$

$$\underline{P_{RS} = 23,47 \text{ W.}}$$

## 9.5. Diyot ve Tristörlerin Kontrolü

T 35 N tipi tristörlere ait bazı karakteristik değerler aşağıdaki gibidir.

$$t_q \leq 120 \mu s$$

$$U_{DRM} = 600 V.$$

$$U_{RRM} = 600 V.$$

$$\left(\frac{dU}{dt}\right)_{krt} = 50 V/\mu s.$$

$$\left(\frac{di}{dt}\right)_{krt} = 120 A/\mu s.$$

$$I_{TRM} = 470$$

$$U_{TO} = 1 V.$$

$$r_T = 6,8 m\Omega$$

$$R_{ThjC} = 0,72 ^\circ C/W.$$

$$R_{ThCA} = 1,4 ^\circ C/W.$$

İşletme sıcaklığı =  $-55^\circ C$  ile  $-125^\circ C$  arası

T 35 N tipi tristörler

BYW 600 tipi diyotlar

kullanılmış olduğuna ;

$$\theta_A = 35^\circ C$$

kabul edildiğine göre:

1. (8.1)' den:

$$600 \geq 2.96$$

$$\underline{600 V. > 192 V.}$$

uygundur.

2. (8.2)' den:

$$193 \mu s. > 120 \mu s.$$

uygundur.

3. (8.3)' den:

$$600 \geqslant 2.96$$

$$\underline{600 \text{ V.} > 192 \text{ V.}}$$

uygundur.

4. (8.5)' den:

$$\left( \frac{dU}{dt} \right)_{t=t_F} = 2.5000.96 \cdot \sin(5000.193 \cdot 10^{-6}) - (-16,61) \cdot (5000)^2 \cdot 200 \cdot 10^{-6} \cdot \cos(5000.193 \cdot 10^{-6})$$

$$= 836457 \text{ V/sn.}$$

$$\underline{50 \text{ V/ \mu s.} > 0,84 \text{ V/ \mu s.}}$$

uygundur.

$$\left( \frac{dU}{dt} \right)_{t=t_K} = 2.5000.96 \cdot \sin(5000.296,9 \cdot 10^{-6}) - (-16,61) \cdot (5000)^2 \cdot 200 \cdot 10^{-6} \cdot \cos(5000.296,9 \cdot 10^{-6})$$

$$= 963586 \text{ V/sn.}$$

$$\underline{50 \text{ V/ \mu s.} > 0,96 \text{ V/ \mu s.}}$$

uygundur.

5. (8.8)' den:

$$\left( \frac{di_A}{dt} \right)_{\max} = \frac{96}{2.9 \cdot 10^{-6}} = 5,33 \cdot 10^6 \text{ A/s.}$$

$$\underline{120 \text{ A/ \mu s.} > 5,33 \text{ A/ \mu s.}}$$

uygundur.

6. (8.9)' dan:

$$\underline{470 \text{ A.} > 368,82 \text{ A.}}$$

uygundur.

7. (8.12)' den:

$$\mathcal{B}_1 = 810,53 \cdot 10^{-6} \cdot 2 \cdot 3,14 \cdot 50$$

$$\underline{\mathcal{B}_1 = 0,25 \text{ rad.} = 14,32^\circ}$$

(8.13)' den:

$$\beta_2 = 3,14 - 0,25$$

$$\underline{\beta_2 = 2,89 \text{ rad.} = 165,59^\circ}$$

(8.10)' dan:

$$i_{T1} = 368,82 - \frac{368,82 - 2 \cdot 12,5}{0,25} \cdot (w_w \cdot t)$$

$$\underline{i_{T1} = 368,82 - 1404,57 \cdot (w_w \cdot t)}$$

(8.11)' den:

$$i_{T2} = 2 \cdot 12,5$$

$$\underline{i_{T2} = 17,68 \text{ A.}}$$

(8.14)' den:

$$I_{TAV} = \frac{1}{2 \cdot 3,14} \cdot \int_0^{0,25} (368,82 - 1404,57 \cdot (w_w \cdot t) \cdot d(w_w \cdot t))$$

$$+ \frac{1}{2 \cdot 3,14} \cdot \int_{0,25}^{3,14} 17,68 \cdot d(w_w \cdot t)$$

$$= \frac{1}{2 \cdot 3,14} \cdot \left| 368,82 \cdot (w_w \cdot t) - \frac{1404,57}{2} \cdot (w_w \cdot t)^2 \right|_0^{0,25}$$

$$+ \frac{17,68}{2 \cdot 3,14} \cdot \left| (w_w \cdot t) \right|_{0,25}^{3,14}$$

$$\underline{I_{TAV} = 15,83 \text{ A.}}$$

(8.15)' den:

$$I_{TEF}^2 = \frac{1}{2 \cdot 3,14} \cdot \int_0^{0,25} (368,82 - 1404,57 \cdot (w_w \cdot t))^2 \cdot d(w_w \cdot t)$$

$$+ \frac{1}{2 \cdot 3,14} \cdot \int_{0,25}^{3,14} (17,68)^2 \cdot d(w_w \cdot t)$$

$$= \frac{1}{2 \cdot 3,14} \cdot \left| (368,82)^2 \cdot (w_w \cdot t) - \frac{2 \cdot 368,82 \cdot 1404,57}{2} \cdot (w_w \cdot t) \right|$$

$$+ \frac{(1404,57)^2}{3} \cdot (w_w \cdot t)^3 \Big|_0^{0,25} + \frac{(17,68)^2}{2 \cdot 3,14} \cdot (w_w \cdot t) \Big|_{0,25}^{3,14}$$

$$\underline{I_{TEF}^2 = 2039,55 \text{ A}^2}$$

(8.16)' dan:

$$P_T = 1 \cdot 15,83 \quad 6,8 \cdot 10^{-3} \cdot 2039,55$$

$$\underline{P_T = 29,7 \text{ W.}}$$

$$P_T = 29,7 \text{ W.}$$

alınırsa;

(8.17)' den:

$$\theta_{vj} = 35 + 29,7 \cdot (1,4 + 0,72)$$

$$\underline{\theta_{vj} = 97,96^\circ\text{C}}$$

(8.18)' den:

$$\underline{125^\circ\text{C} > 97,96^\circ\text{C}}$$

uygundur.

KESİNTISİZ GÜÇ KAYNAKLARI İLE İLGİLİ DEĞERLENDİRME  
KESİNTİSİZ GÜC KAYNAKLARI İLE İLGİLİ  
GİRİŞ DEĞERLENDİRME(\*)

5x

10-1) Yarı iletken teknolojisindeki büyük gelişmeler çeşitli alanlarda elektronik tabanlı cihazların kullanımını arttırmıştır. Bunun sonucunda daha verimli, daha güvenilir ve daha süratli çalışan sistemler ortaya çıkmıştır. Bu tür sistemler geçmişte insan gücü ile gerçekleştirilen bur çok işi devralmışlardır. Bunun doğal sonucu olarak cihaz güvenilirliği yanında cihazı besleyen güç kaynağının güvenilirliği de büyük önem kazanmıştır. Güç kaynağı güvenilirliği denildiğinde akla aşağıdaki konular gelmektedir.

1. Kaynak geriliminin değeri ve kararlığı,
2. Kaynak frekansının değeri ve kararlığı,
3. Kaynaktan gelebilecek istenmeyen gerilim darbelerinin birim zamandaki sayısı,
4. Kaynağın yitirilmesi olasılığı,

IBM firması tarafından yapılan bir araştırma sonuçları (1) A.B.D. lerinde kesintiler dışında oluşan kaynak sorunlarının (gerilim ve frekansın istenmeyen şekilde değişimleri, geçici koşullar sonucunda ortaya çıkan gerilim darbeleri gibi) hassas cihazlar üzerinde çok olumsuz etkiler yapabileceğini ortaya koymustur. Bir de bu sorumlara kaynağın yitirilmesini eklediğimizde işin ciddiyeti tüm açıklığı ile ortaya çıkacaktır.

Kesintisiz Güç Kaynakları (KGK)'nın fiyatları zaman içinde düşme göstermesine karşın, hala, koruduğu cihazların fiyatlarıının üçte birine kadar ulaşabilmektedir. Yukarda sözü edilen araştırmacı göstermiştir ki kaynaktan oluşan birkaç hatanın bile yok edilmesi KGK'ının kullanılmasını haklı hale getirmekte ve fiyatını ödemektedir.

## 10- 2. ÇALIŞMA İLKELERİ VE ÖZELLİKLERİ:

Çesitli güç kaynakları arasında (d.a/a.a, d.a/d.a , a.a/a.a) en yaygın olanı a.a/a.a güç kaynaklarıdır. Bu kaynaklar da kendi aralarında, sürekli çalışanlar ve kesinti halinde çalışanlar olarak ikiye ayrılabilirler. Kesinti durumda çalışan kaynaklar güç sisteminde meydana gelen bir arıza anında devreye girerler ve yeniden gelmesi ile devreden çıkarırlar. Yükü sürekli besleyen kaynaklar daha düşük verimli olmalarına karşın daha üst düzeyde güvenilirlik sağlarlar.

Bu aşamada Türkiye koşullarında hangi tür KGK' nın daha yarınlı olduğunu tartışmak yerinde olacaktır. Birinci planda gözönüne alınması gereken konu yükün niteliğidir. Eğer yük kaynak geriliminin ve frekansının değişmesine hassas olmayan nitelikte ise kesinti anında devreye giren türde bir KGK' ı düşünülebilir. Eğer yük bilgisayar, kritik bir süreç veya benzeri tipte ise tercih edilmesi gereklili olan sistem sürekli olarak KGK' ından beslenen tür olmalıdır. Bilindiği gibi ülkemizde enerji kesilmesi kadar önemli olan kaynağın niteliklerinin kötü olmasıdır. Bu nedenle ikinci türde ki KGK' ı doğru tasarımlandığında her koşulda sabit genlikli ve frekanslı gerilim üretebilecektir. Herhangi bir işyerinde mevcut olan kaynaktaki gerilim değişimlerinin 170-240 Volt arasında ve frekans değişimlerinin 48,5-51,5 Hz arasında olduğunu varsayıyalım. Böyle bir kaynak birçok uygulamada cihazların doğrudan çalışmamasına ve bazı hallerde tahrip olmasına neden olabilecektir. Bu koşullarda uygun seçilen bir KGK'ı geriliminin istenen özelliklere sahip olmasını sağlayacaktır. Bir diğer deyişle kesintisiz olmasının yanında ayrıca regülatör olarak görev yapacaktır. Bu sistem yalnız regülatör olarak çalışacak

şekilde düzenlenebilir, bu durumda doğal olarak akü grubu gerekmeyecektir. Bilindiği gibi ülkemizde mevcut olan güç sistemi çeşitli nedenlerle güvenli bir sistem değildir.

Bu nedenler şu şekilde sıralanabilir.

1. Çok sık meydana gelen arızalar nedeniyle enerjisinin yitirilmesi.

2. Bazı durumlarda programlı kesintilerin olması.

3. Gerilim ve frekans kararlığının kötü olması ve bir çok durumlarda gerilim ve frekansın normal aralığının dışında bulunması.

4. Çeşitli nedenlerle sistemde oluşan geçici koşulların birim zamanda sayı olarak fazla olması.

Yukarıda sayılan nedenler, kritik yük olarak nitelenebilecek, bilgisayarlar, bazı endüstriyel süreçler, haberleşme sistemleri, hava yolu trafiği, hastahaneler ve benzeri yerlerde kullanılan cihazların mutlak olarak güvenilir kaynaklardan beslenmesini kaçınılmaz kılmaktadır. Bu yüklerin bir bölümü ve bazı yüklerin belli parçaları kaynağın nitelikli olmasını gerektirmektedir. Aksi durumlarda enerji kesinti olmamasına karşın, niteliksiz kaynak bir takım arızalara veya yanlış çalışmalarına neden olabilmektedir.

KGK'ının seçilmesinde özen gösterilmesi gereklili konular aşağıdaki gibi sıralanabilir.

I- Uygulamanın türüne göre sistemin belirlenmesi.

II- KGK'ının teknik özellikler

III- KGK'ının güvenilirliği

IV- KGK'ının estetiği ve ergonomisi

Sistemin seçilmesiyle ilgili kısa bir bilgiyi yazımızın baş tarafında sunmuştuk, bu nedenle ilk olarak bu tür sis-

temlerin teknik özelliklerinden söz edelim. D.A. kaynaktan üretilen olacak olan dalga biçiminin şekillendirilmesinde uygulanan teknik KGK'ının başarısının tanımlanmasında birinci derecede etken olmaktadır. Ferro rezonans prensibi, kare dalga ve PWM teknikleri kullanılan yaklaşımın başlıcalarıdır ve PWM tekniği en çok kullanılmıştır.

Cihazların teknik özelliklerinin belirlenmesinde çıkış geriliminin en kötü koşullardaki toplam harmonik distorsiyonu, çıkış geriliminin genliğinin ve frekansının regülasyonu, cihazın dinamik regülasyonu ve giriş geriliminde müsade edilen gerilim değişme aralığının saptanması birinci derecede etken olmaktadır.

Çeşitli firmaların ürünlerine ait teknik özellikler karşılaştırma yapılmış amacıyla yazımızın 3. bölümünde sunulmuştur.

KGK'nın güvenilirliği, seçilen doğrultmaç ve evirgecin tasarım yaklaşımına, cihazda kullanılan koruma yöntemlerine ve uygulanış biçimine bağlı olduğu gibi, üretim sırasında kullanılan üretim teknolojisine de yakından bağlıdır. Üretilen cihazın çeşitli devre koşullarında çalışacağı düşünülür se, laboratuvara bu koşullar sağlanarak, cihaz denenecek olursa güvenililik artacaktır. Güvenilirliğin sağlanmasında önemle gözetlenecek diğer bir husus da cihazda kullanılan devre elemanlarının ve diğer malzemelerin doğru seçilmesidir. KGK'ların genel görünümleri, özellikle ofis ortamında çalıştırılacak KGK'ların estetiğinin önemle göz önünde bulundurulması ve mümkün olduğu kadar gürültüsüz çalışmalarının sağlanması şarttır.

#### 10- 3. A.B.D. VE TÜRKİYE'DE ÜRETİM

A.B.D. nin özellikle seçilmesinin nedeni bu ülkeye ait genel değerlendirmenin yapılmış olmasıdır.(1). Şimdi bu firma-

ların ürettikleri cihazların ortak yönlerini belirlemeye çalışalım.

Gould firması GSU serisinden 500VA ve 1000 VA'lık KGK'larını güç FET'leri kullanarak üretmektedir. Firma, yüksek frekansta PWM tekniği ile, cihaz verimi %80 toplam harmonik distorsiyonu %4 ve çıkış gerilim regülasyonu %±1 dolaylarında olan cihazlar yapmaktadır.

Summit Electronics firması 200 VA ve 400 VA gücünde KGK'larını Güç transistörleri kullanarak üretmektedir. PWM tekniği kullanarak yapılan cihazların verimi %75, toplam harmonik distorsiyonu %3 ve çıkış gerilim regülasyonu %±3 dolaylarındadır.

Sola firması 1 ve 1,5 KVA gücünde KGK'larında önceleri ferro rezonans transformatörleri kullanırken yakın zamanlarda güç transistörleri kullanmaya ve PWM tekniğini uygulamaya başlamıştır.

Topaz firması 200 VA ile 15 KVA arasında KGK'ları üretmektedir. Cihazların verimi %80, toplam harmonik distorsiyonu %5 ve çıkış gerilim regülasyonu ise %±2 dolaylarındadır.

Lorain Products firması da Topaz firmasının benzeri güç seviyelerinde cihazlar üretmektedir. Tüm cihazlar Ferrorezonans transformatör kullanmakta ve verimleri, %85, toplam harmonik distorsyonları ise %5 dolaylarındadır.

Franklin Electric, Emerson Industrial Controls ve Exide Electronics firmaları da 10 ile 1000KVA arasında KGK'ları imal etmektedirler.

Büyük sistemlerde çoğunlukla tristörlü evirgeçler kullanılmakta ve verimleri küçük güçlerdekilere göre daha yüksek olmaktadır. Ülkemizde konu ile ilgili çoğu atölye koşullarında olmak üzere kısıtlı bir üretim yapılmaktadır. Firmaların üretti-

leri cihazlarla ilgili teknik spesifikasyonların verilmemesi nedeniyle bu konuya değinmeyeceğiz.

Aselsan tarafından geliştirilen KGK'ları ile ilgili bilgiler aşağıda sunulmuştur.

Şirket ilk plan da 15 KVA gücüne kadar olan KGK'larını anahtarlama transistörleri ve PWM tekniği kullanarak imal etmiş, 2,5 KVA gücüne kadar olan sistemler için proto-tip çalışmaları tamamlandıktan sonra üretim aşamasına ulaşmıştır. Cihaz üzerinde yapılan deneyler de cihazın veriminin %80, gerilim regülasyonunun  $\pm 3\%$ , frekans regülasyonunun  $\mp 0,5$ , toplam harmonik distorsiyonunun %5 ve dinamik regülasyonun  $\mp 10$  değerlerinde olduğu belirlenmiştir. 10 KVA'lık KGK'nın ilk modeli 1983 yılının ortalarında tamamlanarak işletmeye alınmış ve bu KGK'nın veriminin daha yüksek olduğu görülmüştür.

#### 10-4. KGK' L A R I N I N K U L L A N M A A L A N L A R I

Sözcü edilen bu kaynakların kullanma alanları , bilgisayarlar yanısıra, elektrik kesintisine tahammülü olmayan alarm cihazları, askerlik ve güvenlikle ilgili cihazlar ve yanlış çalışlığında büyük zararlara yol açabilecek sanayi devletim cihazları KGK'ları için birer uygulama alanıdır. Bunlardan başka bankalarda kullanılan ve müşteriye hizmet veren hesap makinaları ve haberleşme de büyük önemi olan teleks makineleri da bu tür kaynaklarla beslenmesi gereken cihazlardır.

## S O N U Ç

1- Bu bitirme tezinde Kesintisiz Güç Kaynakları teorik olarak incelenmiş ve kaynağın seçilmesinde ne gibi faktörlerin gözönüne alınacağı ve bunun yanısıra ülkemizde kullanılması uygun olabilecek KGK seçenekleri öz olarak incelenmiş ve kritik yüklerde sürekli KGK'nın kullanılmasının uygun olacağını sonucuna ulaşılmıştır. Ayrıca ABD'inde üretim yapan bazı ciddi firmaların ürettiği cihazlarda uygulanan dalga üretme teknikleri ve cihazların teknik özellikleri kısaca verilmiştir.

### FAYDALANILAN KAYNAKLAR

- 1- Remzi GÜLGÜN'ün lisans üstü ders notları
- 2- SCR MANUAL
- 3- Hacı BODUR'un lisans üstü tezi
- 4- Remzi GÜLGÜN'ün Güç Elektroniği ders kitabı
- 5- Tsantes John'un "Power Sources" adlı kitabı
- 6- Enersis Sanayi ve Ticaret Ltd. Şti. Kataloglarının dan
- 7- Halit Pastacık'nın "Elektronik-Elektronik devreler" kitabı

### ÖZGEÇMİŞİM

1961 yılında Samsun'da doğdum. İlkokul, Ortaokul ve Lise öğrenimimi Samsun'da bitirdikten sonra 1980 yılında Yıldız Üniversitesi Elektrik Mühendisliği bölümünü kazandım. 1984 yılında bu okulu bitirdikten sonra aynı okulda Yüksek Lisans'a başladım.



\*0009302\*